

Matériaux photosensibles et structuration par laser femtoseconde

J. C. Desmoulin, S. Danto, P. Hee, A. fargues, Y. Petit, E. Fargin, **T. Cardinal**
ICMCB, University Bordeaux, France

M. Vangheluwe, L. Canioni
CELIA, University Bordeaux, France

F. Liang, Y. Messaddeq, R. Vallée
COPL, University Laval, Canada

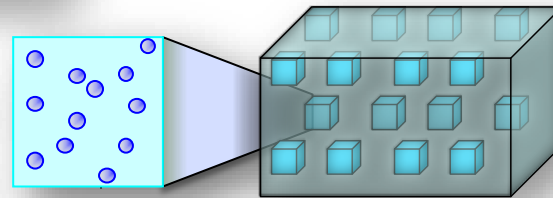
M. Dussauze
ISM, University Bordeaux, France

- I. Introduction Structuration Laser femtoseconde et impression 3D**
- II. Verres photosensibles : le cas de l'ion argent**
- III. Impression de motifs luminescents**
- IV. Processus physico-chimiques : analogie avec une irradiation électronique**
- V. Effets non linéaires photo-induits**
- VI. Architecture et co-illumination**
- VII. Mise en forme : fibres photosensibles**
- VIII. Verres à l'argent et nanoréseaux**

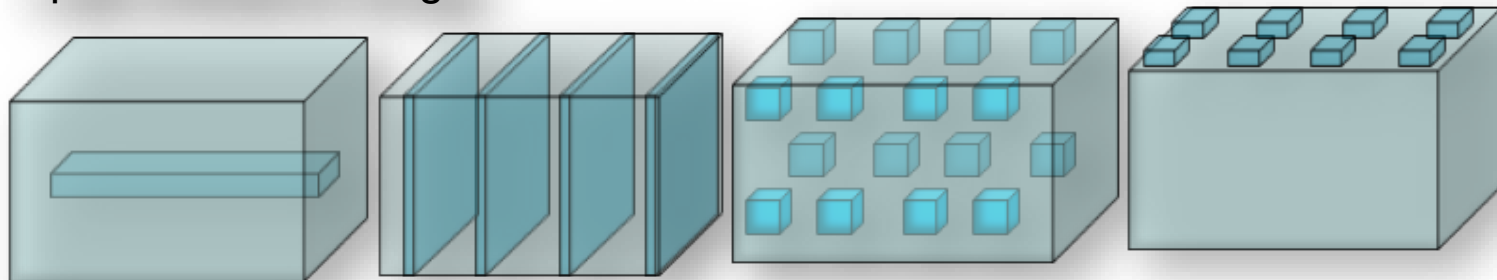
Impression en surface et en volume

Luminescence
Non linear optical
properties

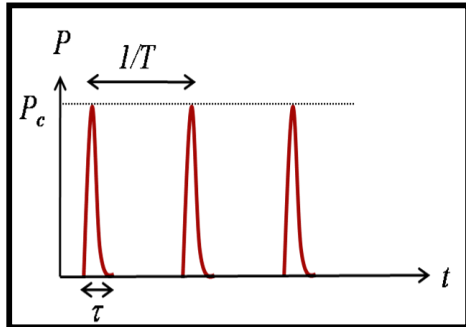
Multi-scale
Structuring



Optical Material design

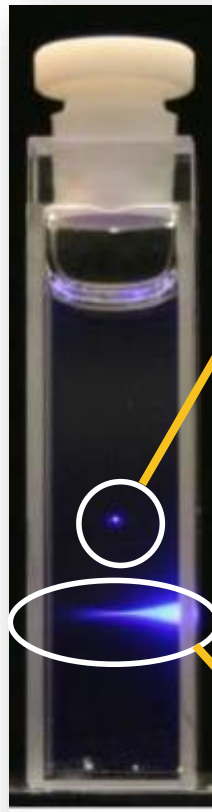


Lasers impulsionnels



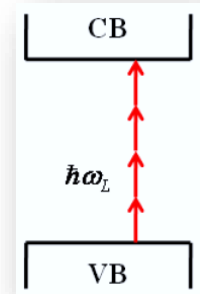
$$P_c \approx \text{GW} - \text{TW}$$

Fluorescence de colorants en solution

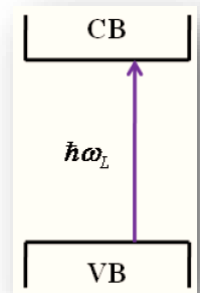


Processus non linéaire
= **multiphoton**

Absorption localisée



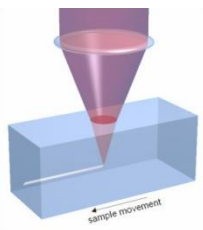
Processus linéaire :
Absorption sur tout le trajet du faisceau



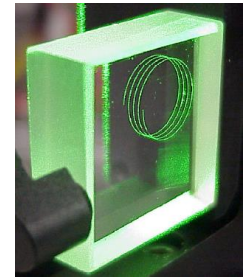
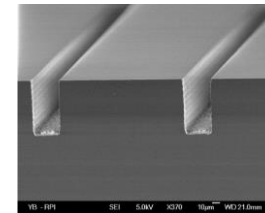
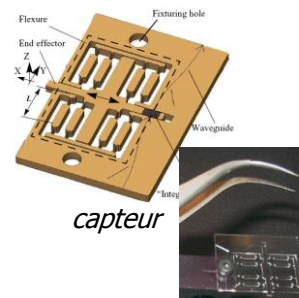
1995

• Micromètre

Inscription de guide d'onde
Croissance cristalline



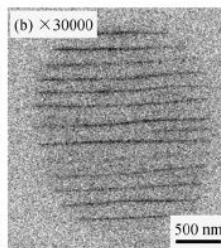
Efimov et al, Optical Materials, Volume 17, Issue 3, August 2001, Pages 379-386



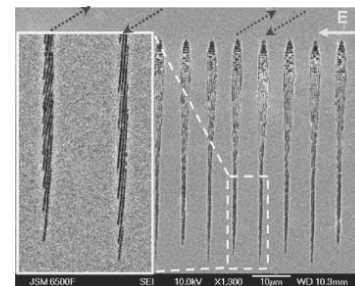
Translume Inc.

Depuis
2000

• Nanostructuration Nano Réseaux

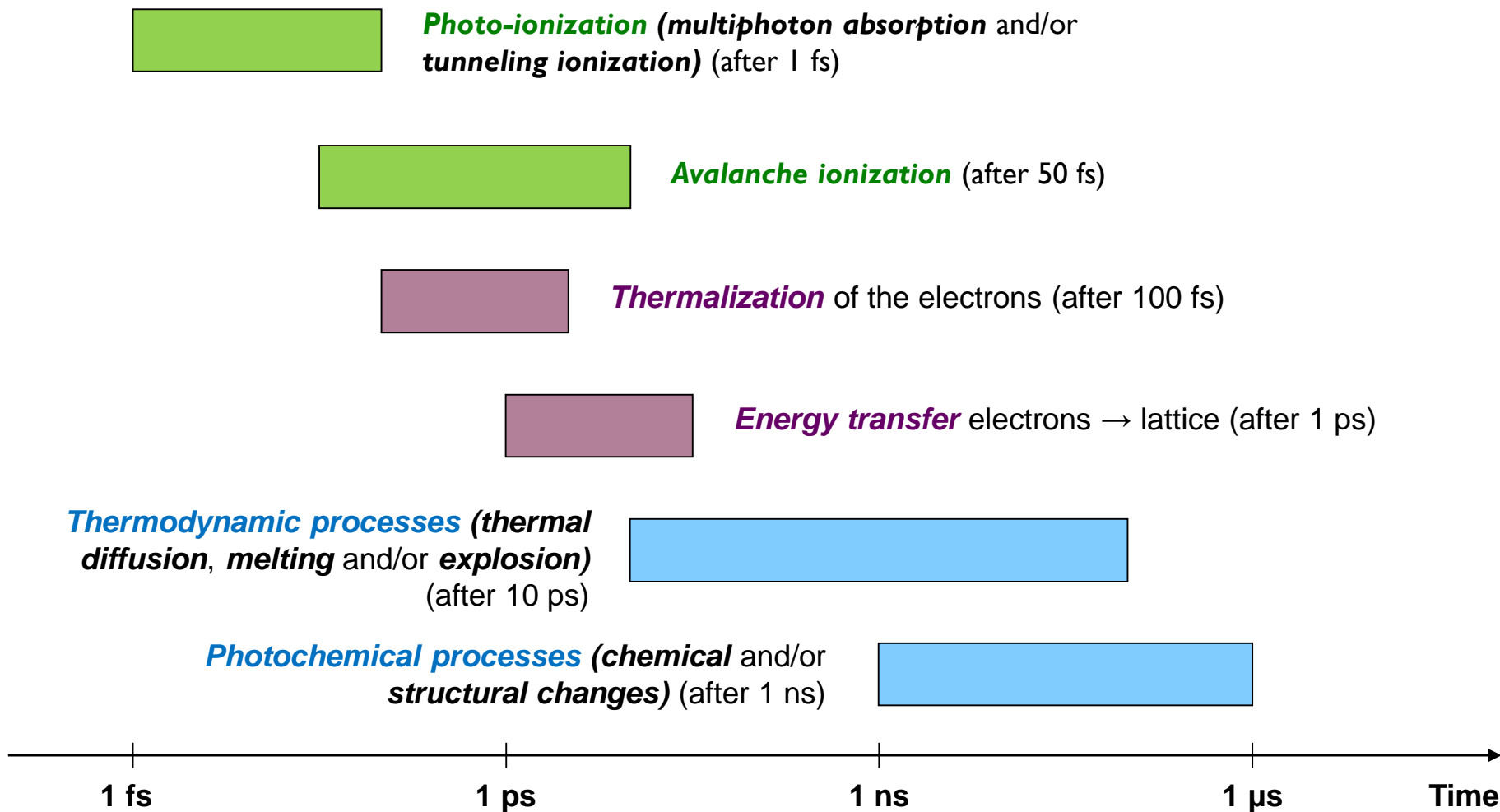


Shimotsuma Y., Hirao K. et al. J. of Non Cryst. Solids, 352, p646, (2006)

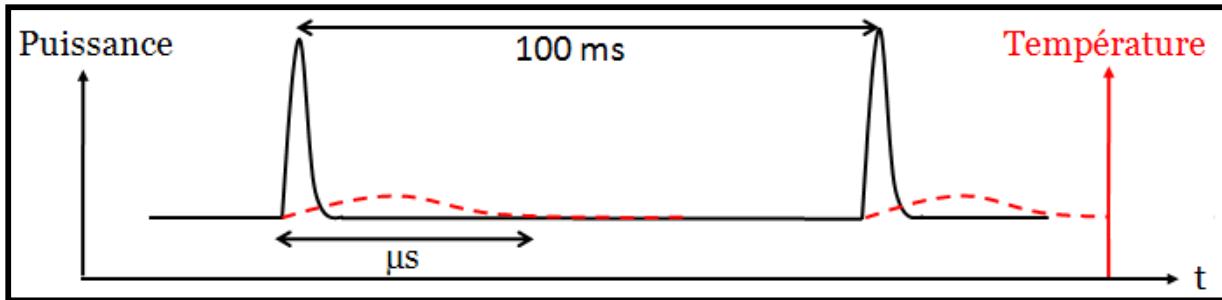


P. G. Kazansky et al. 90, (2007), p151120

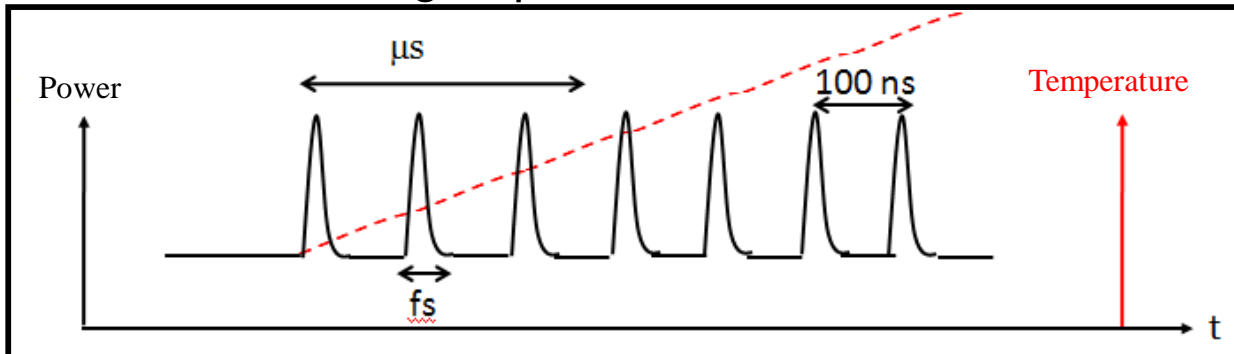
Processus physico - chimiques



Thermal relaxation $\approx \mu\text{s}$
Low repetition rate



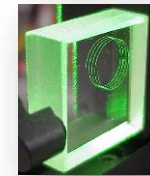
High repetition rate



⇒ **Effet thermique**

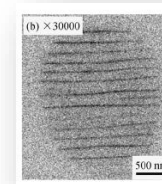
- Type 1 Variation isotrope de l'indice de réfraction

- Δn isotrope – fusion du verre.
- Applications: **guides d'onde....**



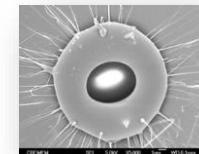
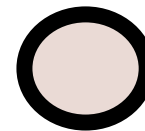
- Type 2: Variation anisotrope de l'indice de réfraction

- Modification de l'indice de réfraction à des échelles en dessous de la longueur d'onde ("nanograting" structure).
- Applications: **polarisation....**



- Type 3: Formation de cavités

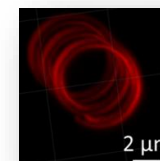
- Coeur de faible densité ($\Delta n < 0$) et coque forte densité ($\Delta n > 0$).
- Applications: **mémoires optiques...**



Régime d'inscription

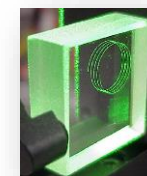
- **Type 0: Photochimie**

- Changement degré d'oxydation
- Changement de phase.....



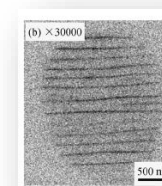
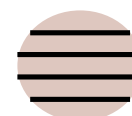
- **Type 1 Variation isotrope de l'indice de réfraction**

- Δn isotrope – fusion du verre.
- Applications: **guides d'onde....**



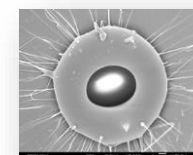
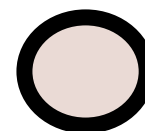
- **Type 2: Variation anisotrope de l'indice de réfraction**

- Modification de l'indice de réfraction à des échelles en dessous de la longueur d'onde ("nanograting" structure).
- Applications: **polarisation....**



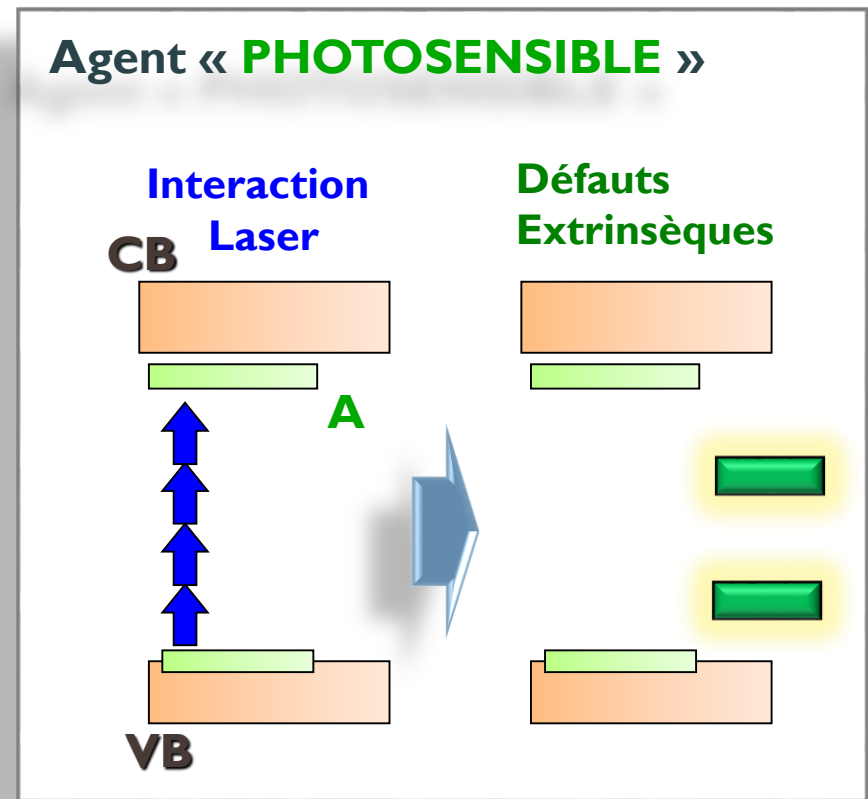
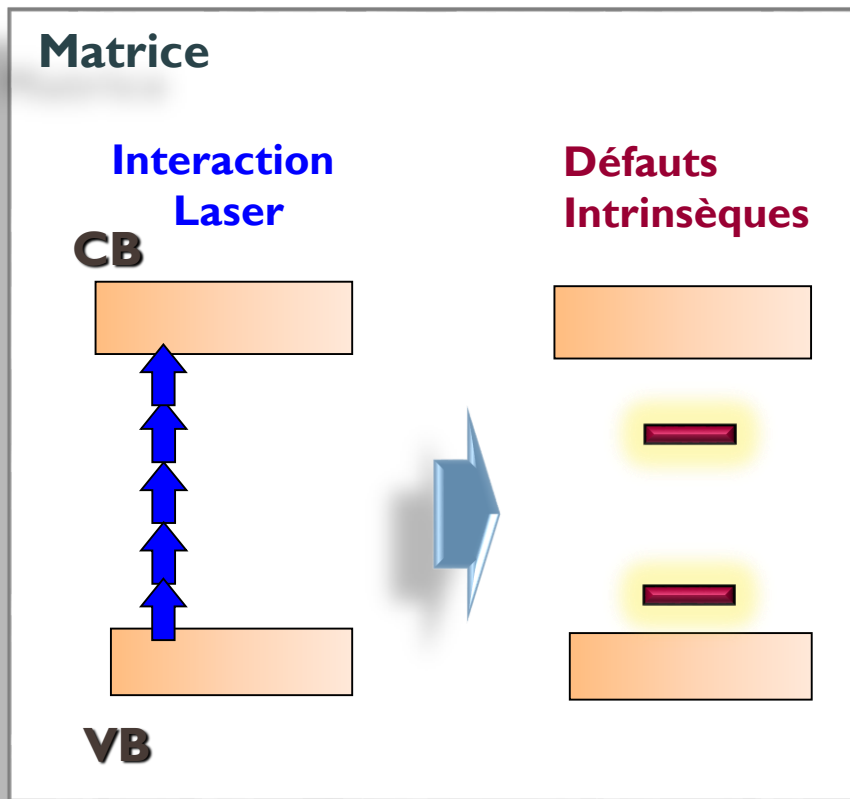
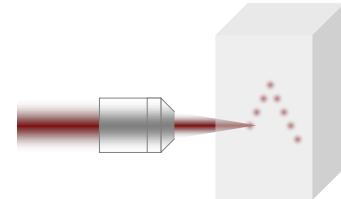
- **Type 3: Formation de cavités**

- Coeur de faible densité ($\Delta n < 0$) et coque forte densité ($\Delta n > 0$).
- Applications: **mémoires optiques...**



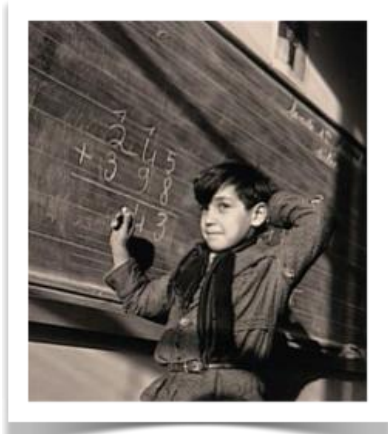
- I. Introduction Structuration Laser femtoseconde et impression 3D
- II. Verres photosensibles : le cas de l'ion argent**
- III. Impression de motifs luminescents
- IV. Processus physico-chimiques : analogie avec une irradiation électronique
- V. Effets non linéaires photo-induits
- VI. Architecture et co-illumination
- VII. Mise en forme : fibres photosensibles
- VIII. Verres à l'argent et nanoréseaux

Eléments photosensibles ?



Argent, un élément très utilisé?

Film photographique



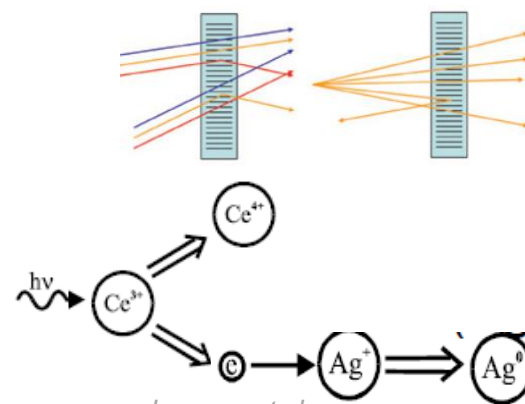
Doisneau, *Mathématiques*, 1941

Verre photosensible

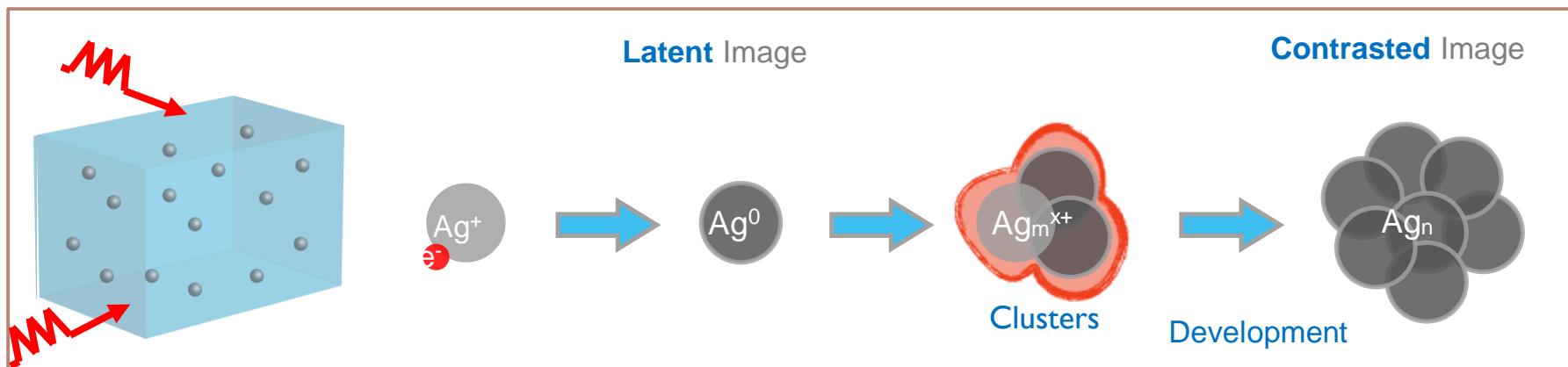


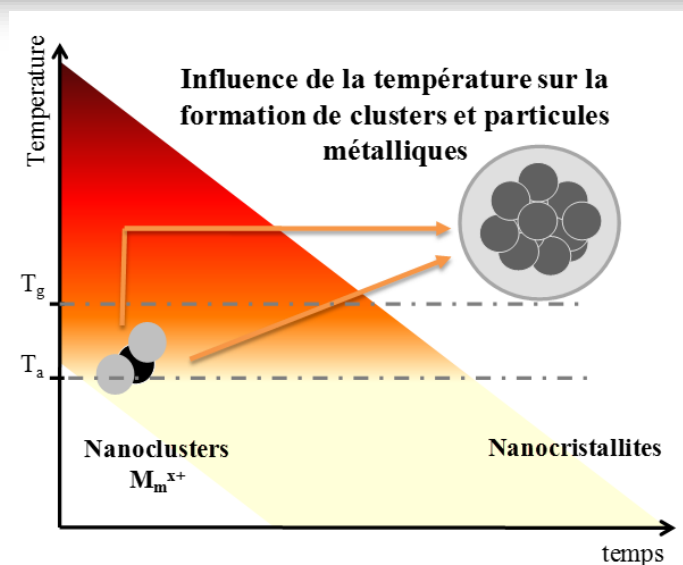
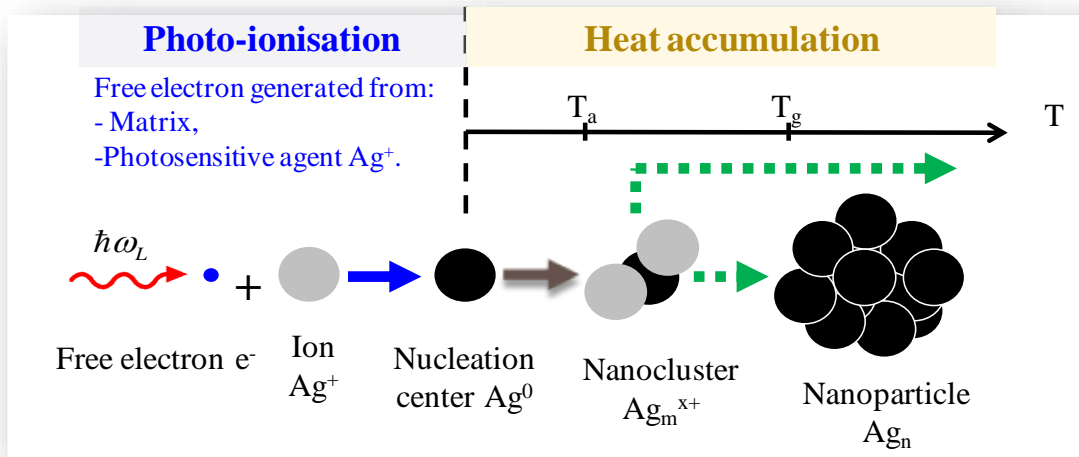
Stookey, *Ind. Eng. Chem.*, 1949

Thermo photo réfractif



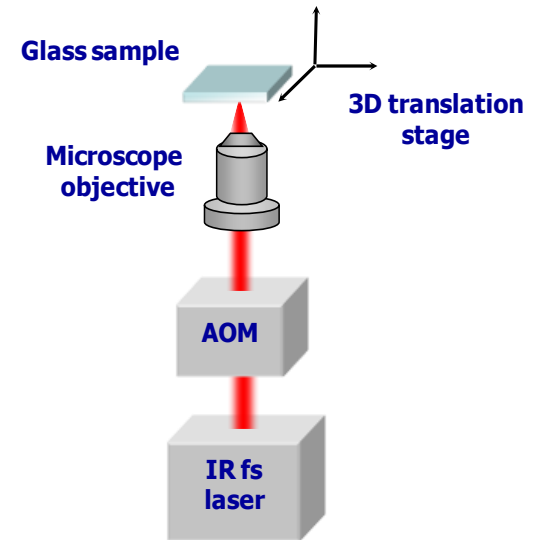
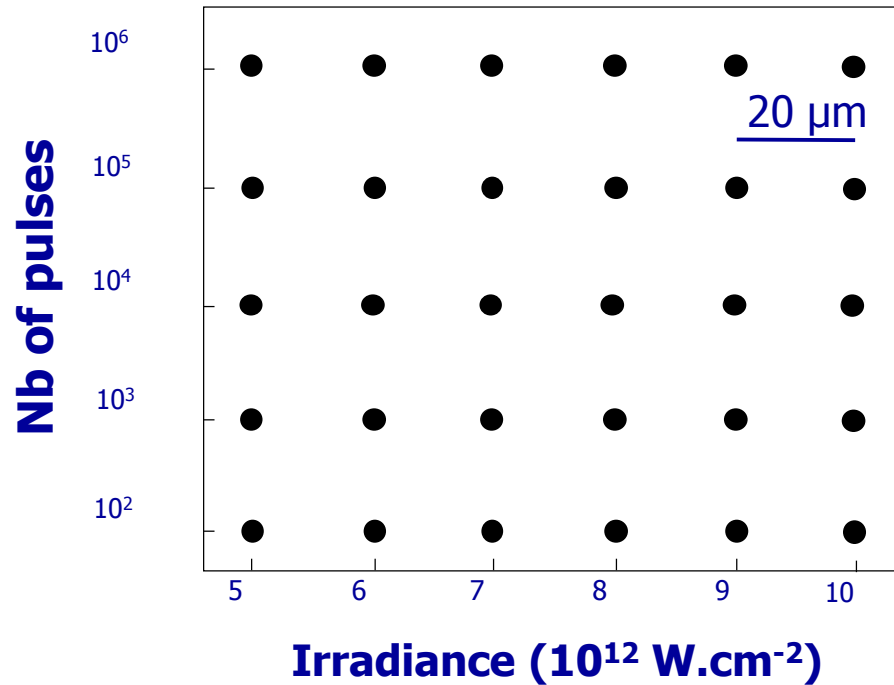
Lumeau et al., *Optical Materials* 32 (2009) 139–146





- I. Introduction Structuration Laser femtoseconde et impression 3D
- II. Verres photosensibles : le cas de l'ion argent
- III. Impression de motifs luminescents**
- IV. Processus physico-chimiques : analogie avec une irradiation électronique
- V. Effets non linéaires photo-induits
- VI. Architecture et co-illumination
- VII. Mise en forme : fibres photosensibles
- VIII. Verres à l'argent et nanoréseaux

Matrice d'interaction Laser Matériaux

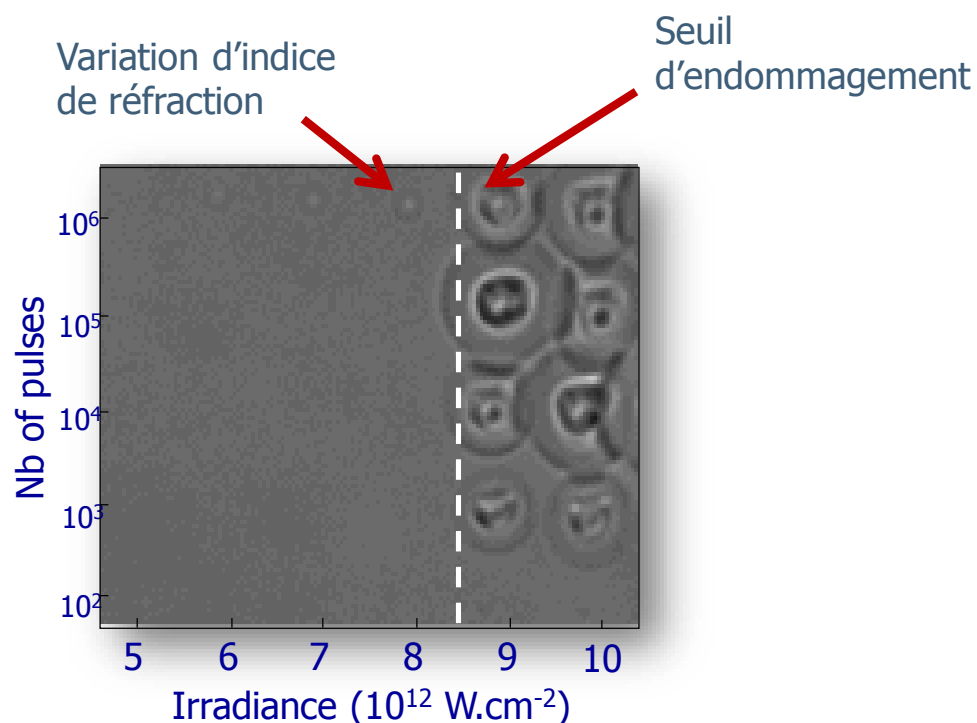


Wavelength:	1.04 μm
Energy :	0 \rightarrow 400 nJ
Pulse width :	400 fs
Repetition rate:	10 Mhz

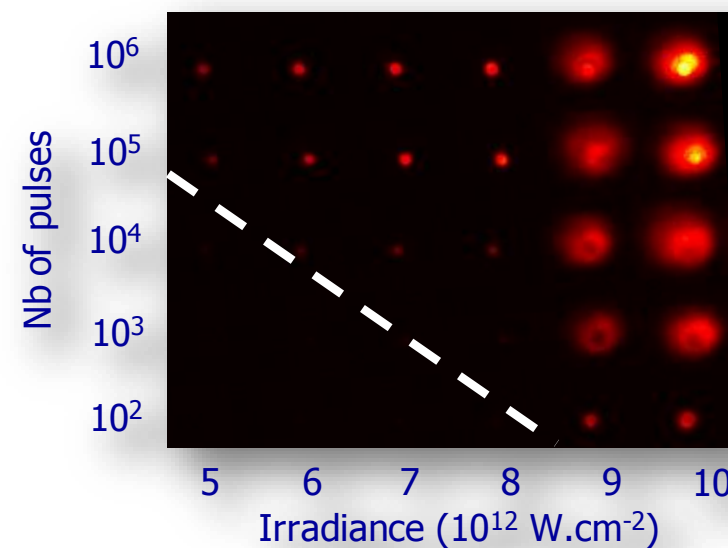
Composition :
55% ZnO – 40% P₂O₅ – x% Ga₂O₃ – (5-x)% Ag₂O

T_g = 380°C

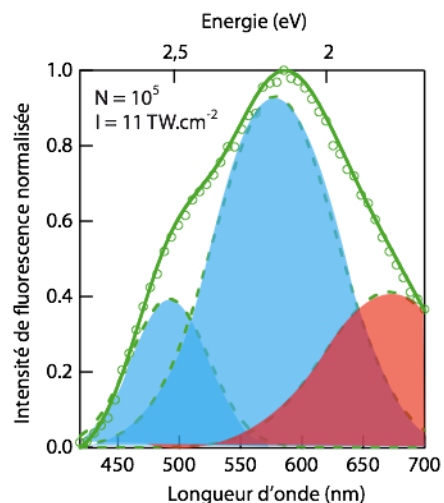
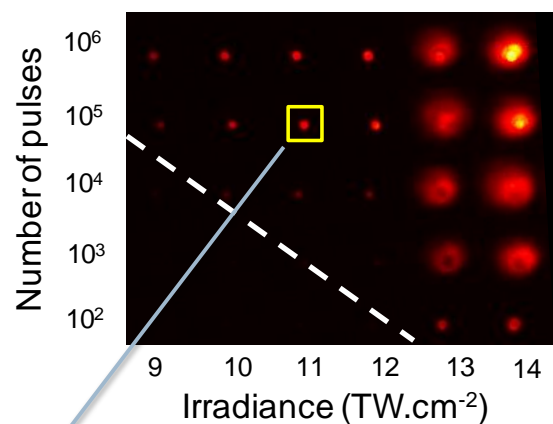
Microscopie en lumière blanche



Microscopie de luminescence
 Micro Raman
 Microspectroscopie SHG
 etc...

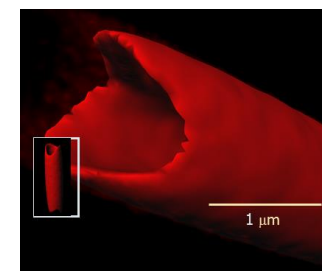
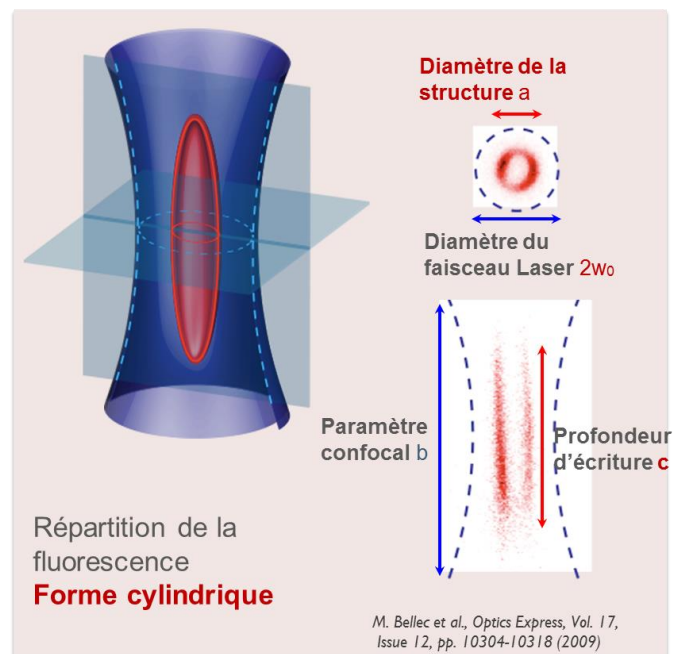
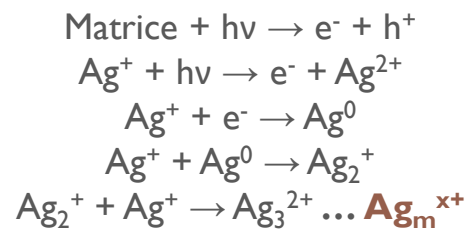


Micro-luminescence
 $\lambda_{\text{exc}} = 363\text{nm}$



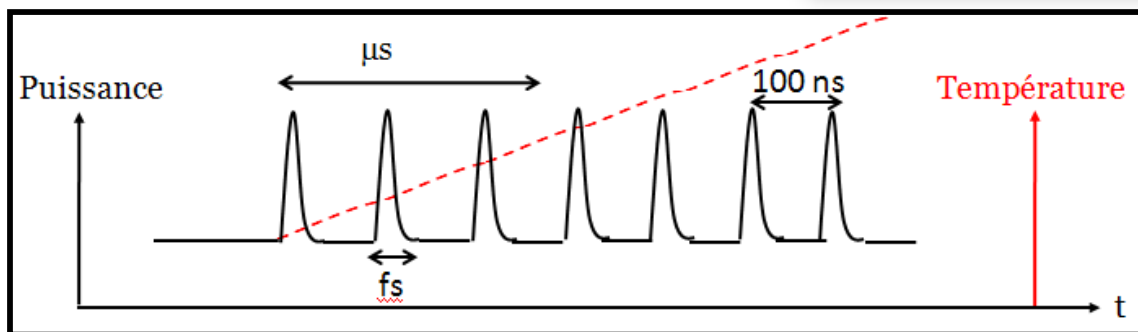
Bellec et al. *Journal of Physical Chemistry C* 114, (2010), 15584-15588.

- Formation de **clusters d'argent fluorescents Ag_m^{x+}** .
- Réactions Photo-chimiques:

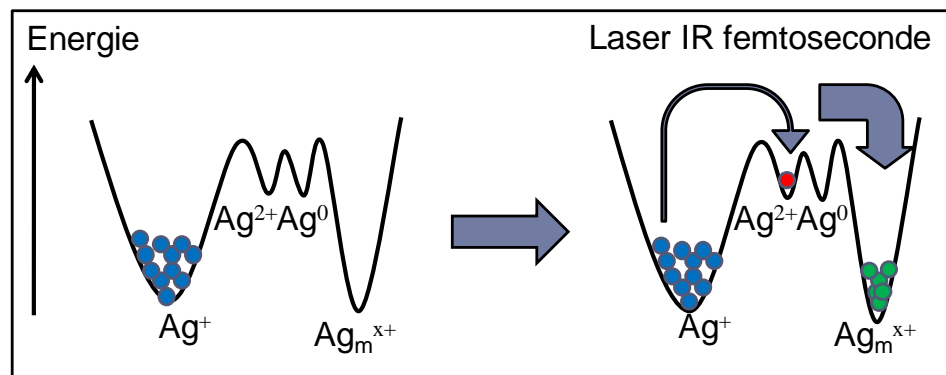


M. Bellec et al., *Optics Express*, Vol. 17, Issue 12, pp. 10304-10318 (2009)

L. Binet, D. Caurant, , LCMC, Paris



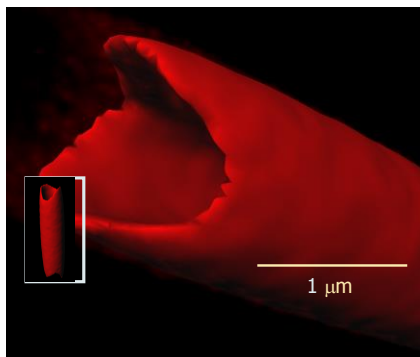
Taux de répétition élevé



➤ Formation **localisée** d'agrégats d'argent

Meilleure stabilité des structures

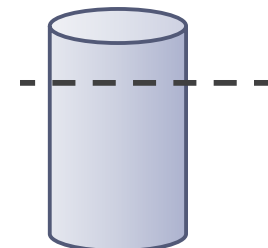
Photo réduction et agrégation



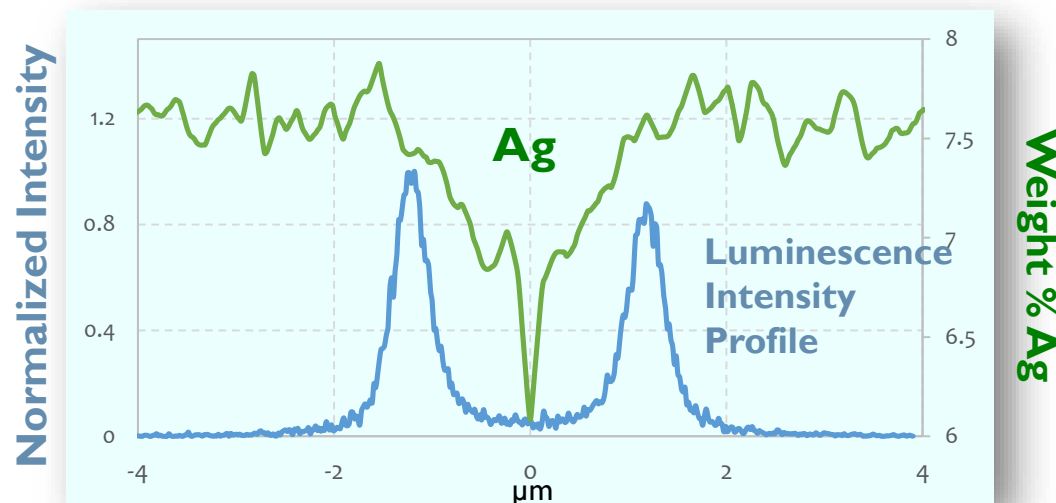
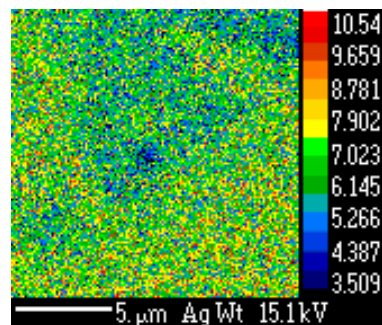
Formation de clusters
d'argent luminescents Ag_m^{x+}
(formés de Ag^0 et Ag^+)

*Bellec & al., Opt. Express,
17(12) (2009) 10304-10318*

3 μm
diameter

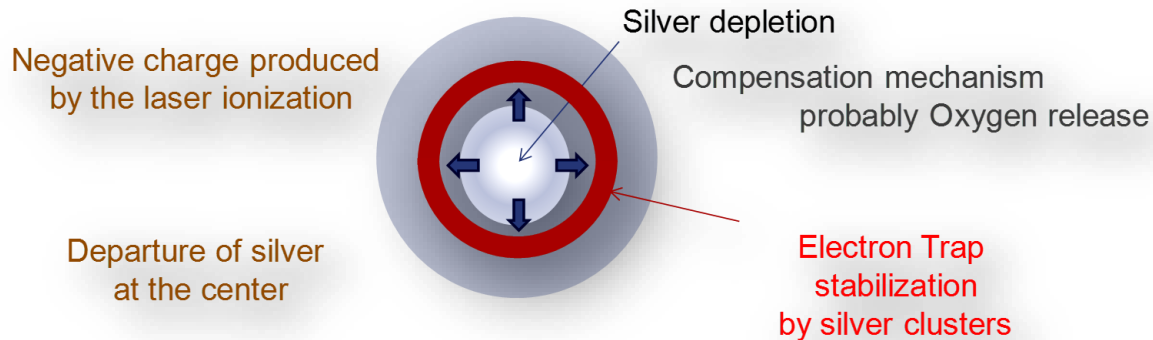


X Ray microprobe



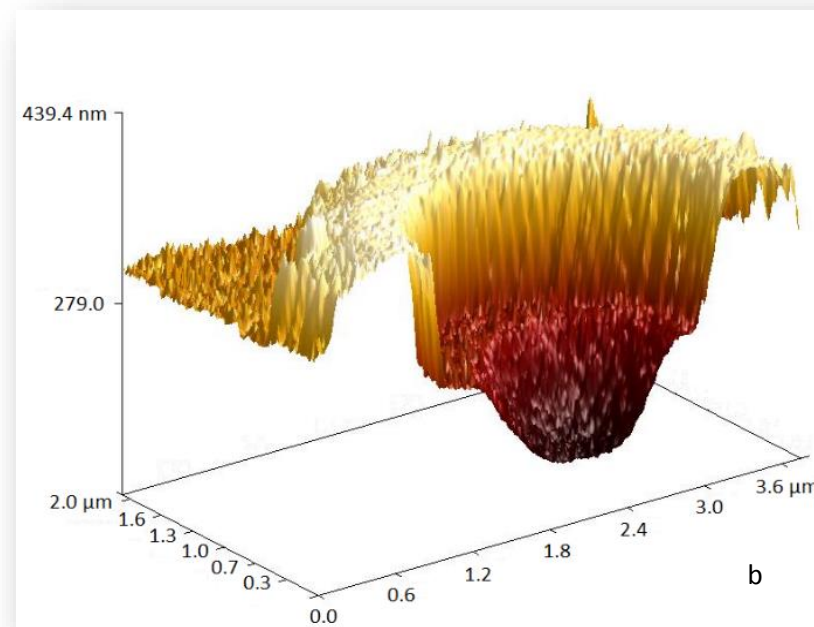
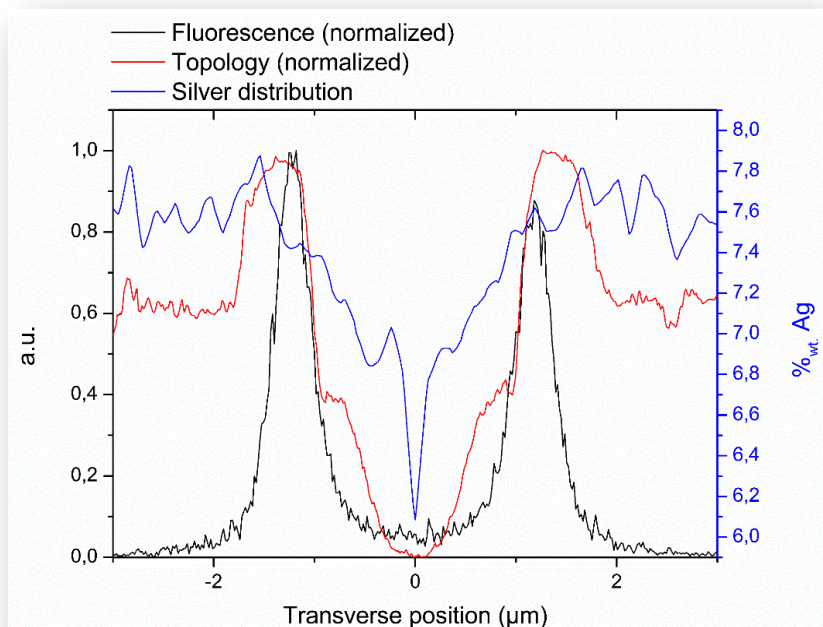
Déplétion de l'argent au centre

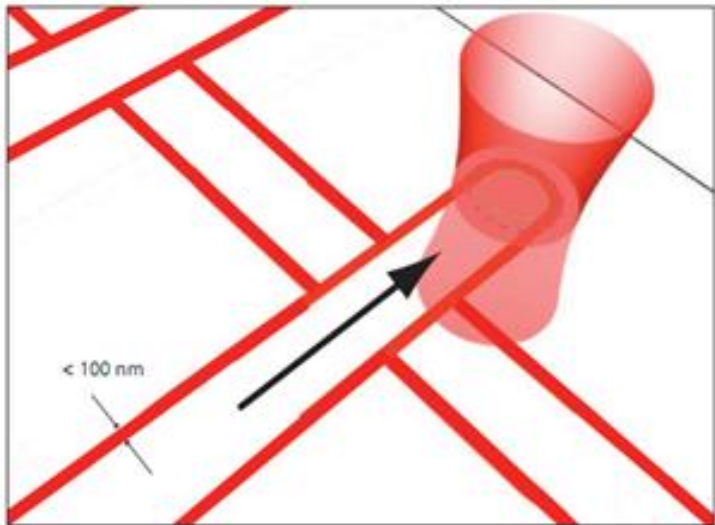
JC Desmoulin et al., J.App Phys. In press



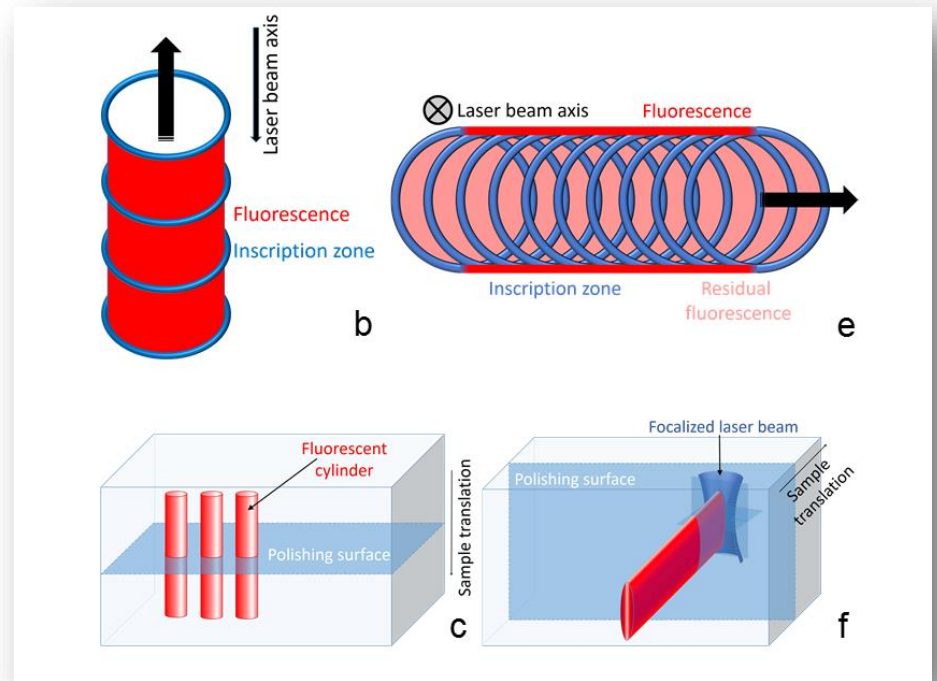
Attaque chimique

JC Desmoulin et al., J.App Phys. In press





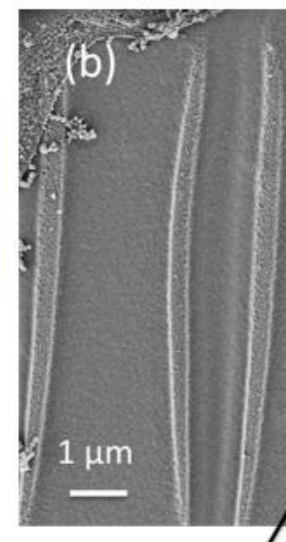
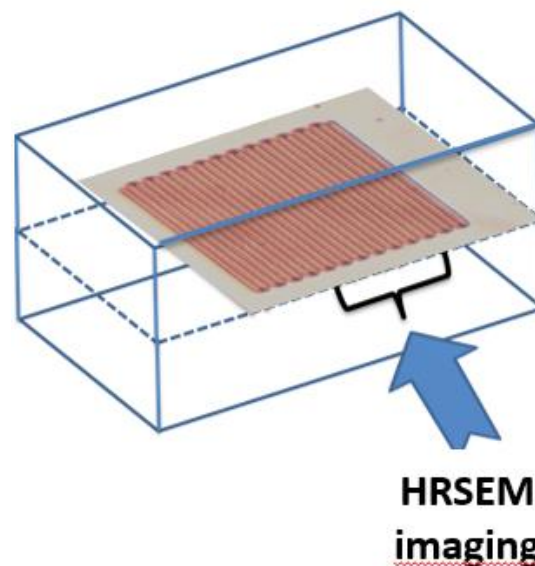
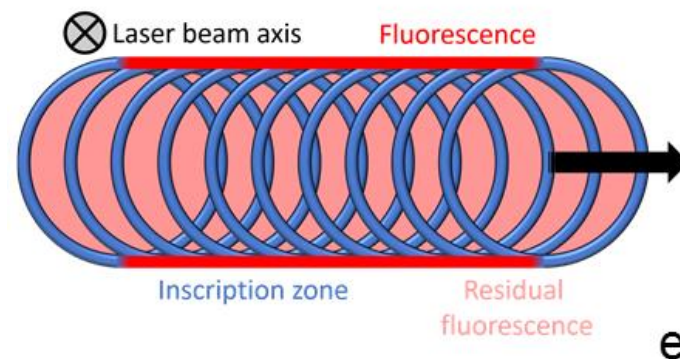
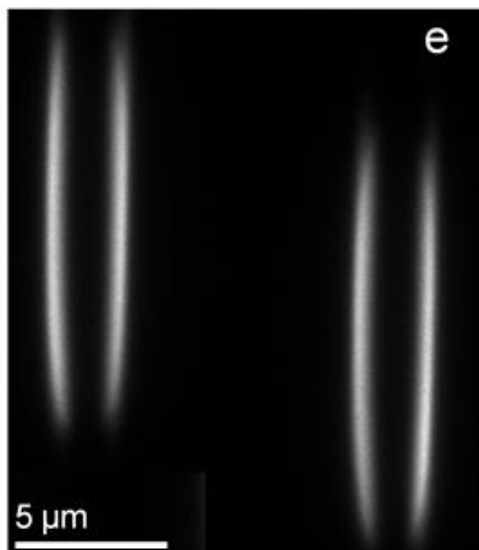
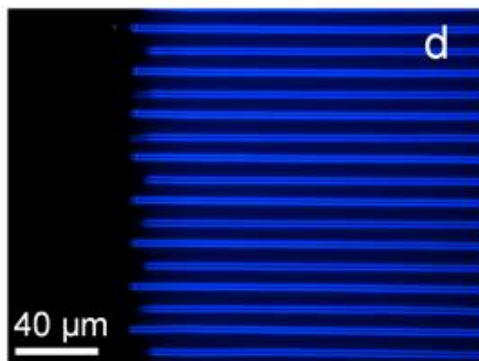
Bord écrit
Centre efface



Inscription de doubles lignes fluorescentes

Micro-luminescence

$$\lambda_{\text{exc}} = 363\text{nm}$$



Combinaison de l'oxydo-réduction Et de la migration

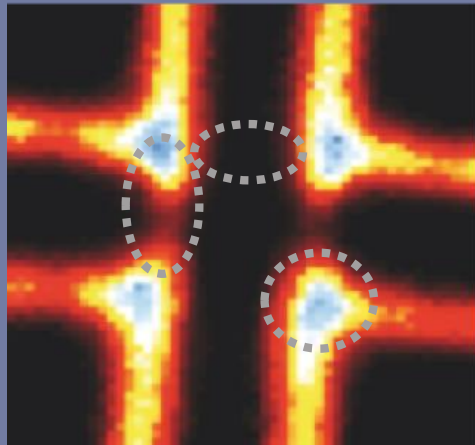
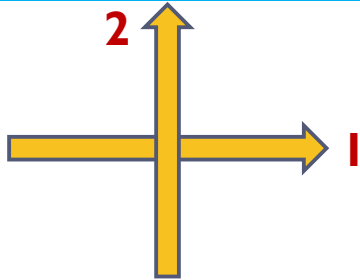
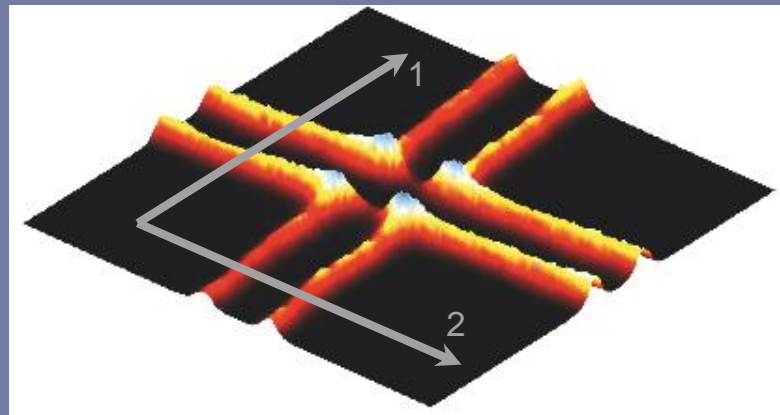
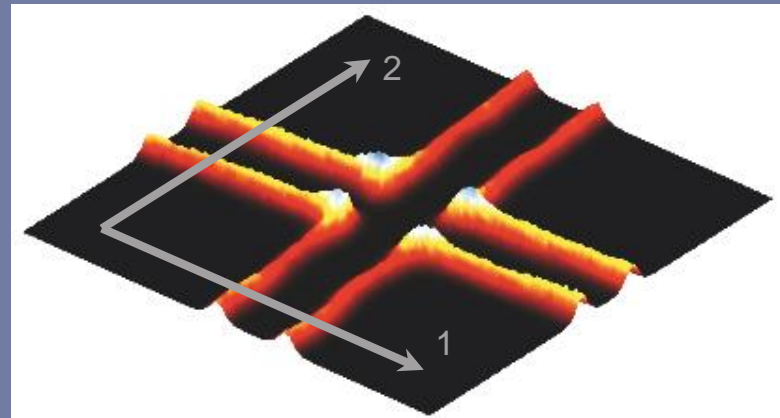


Photo-dissociation in the center

Redistribution on the edge

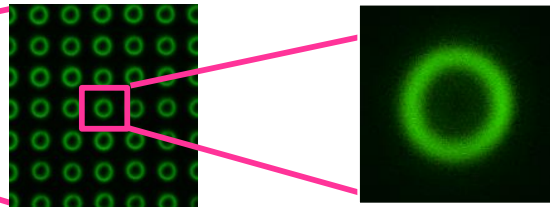
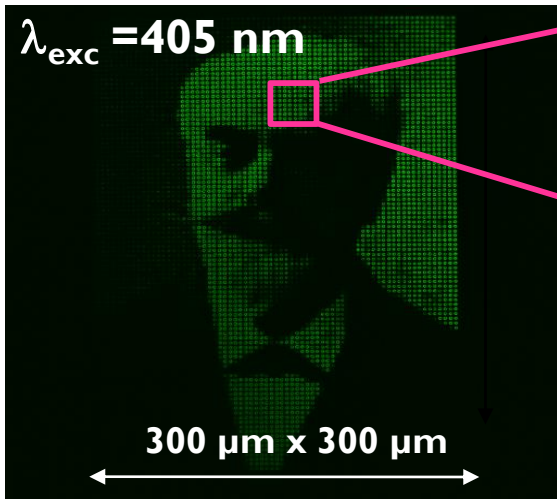
Accumulation at the corner

Linear displacement
 $v = 1 \text{ mm/s}$, $N = 10^6$



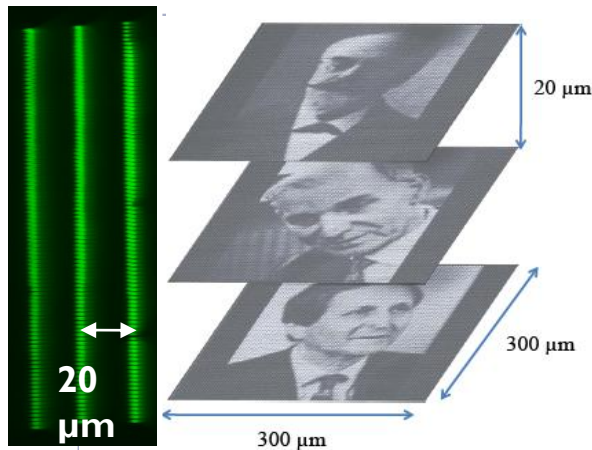
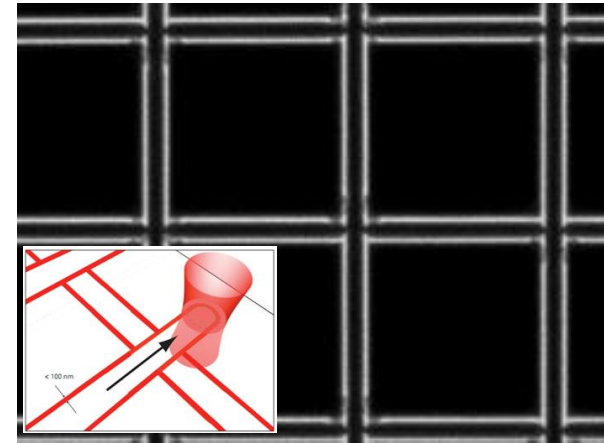
Motifs lumineux

- Stockage pérenne 3D haute densité (lecture confocale)

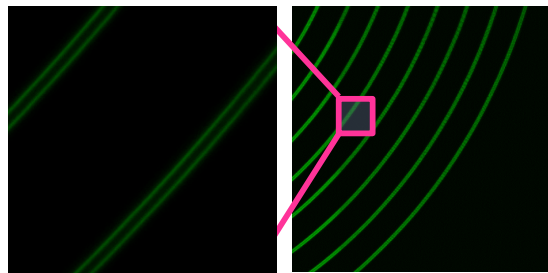


- Compatible avec Blu-ray
- Encodage 4 bits en intensité
- Capacité ($> 20 \text{ Tbits.cm}^{-3}$)
- Plans indépendants ($\Delta n < 10^{-4}$)
- Stabilité

- Ecriture & ré-inscription

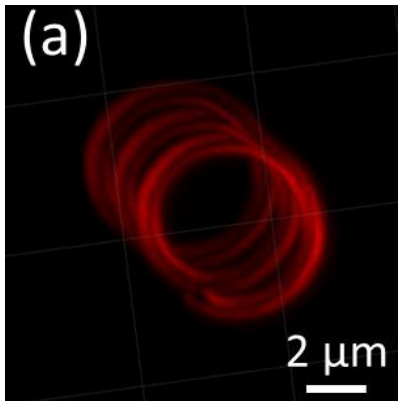


- Encodage 3D de structures pour microscopie de fluo

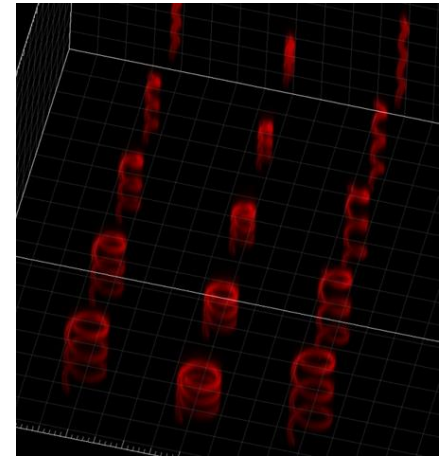


- Ecriture sur les bords du laser
- Effacement au centre
- Re-écriture selon le réservoir d'ions argent

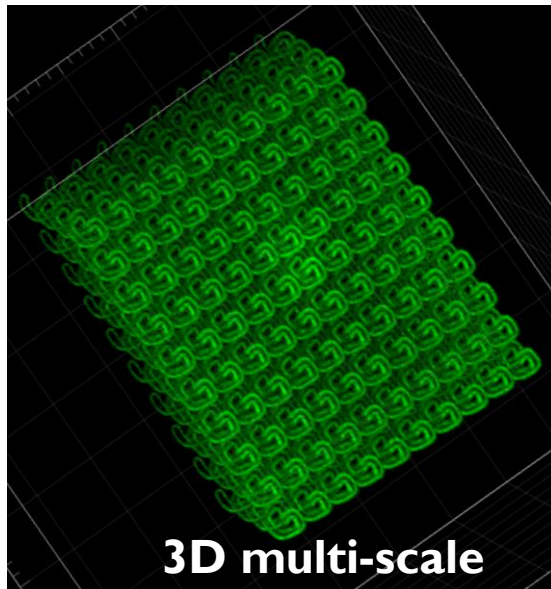
A. Royon et al., *Advanced Materials*, 22, 46, 2010, p 5282



- Double-line spirals by confocal imaging
- Control of both radii & helicoidal periods
- Sub-micron dimensions along the spiral



N. Marquestaut et al., Avd. Funct. Mat. 24(37), 5824–5832 (2014).

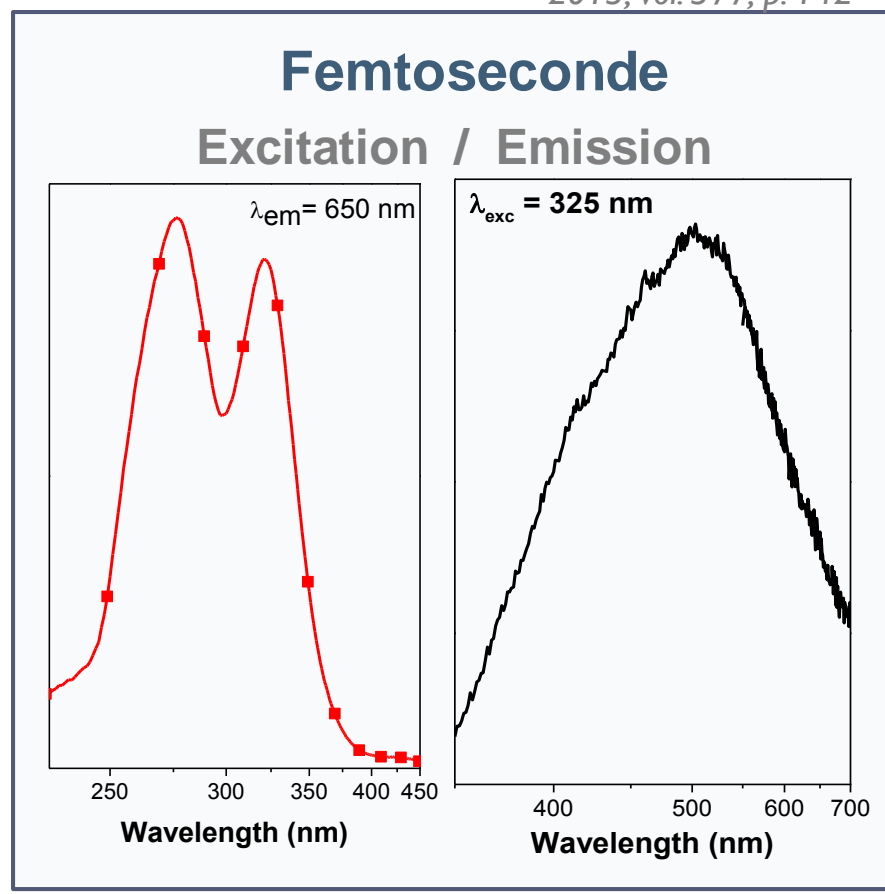
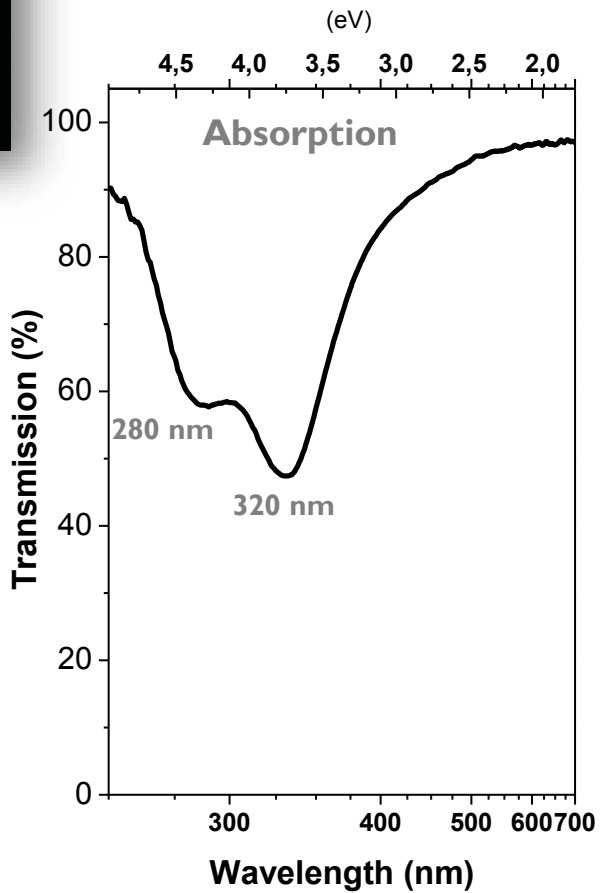
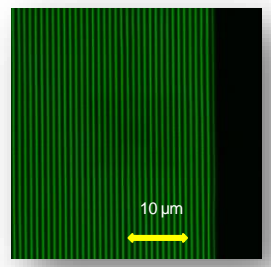


Topological chirality

- Photonics structures
 - Linear optics & Refractive index
 - Nonlinear optics & SHG / THG
- Plasmonics structures
 - Composite dielectric/metallic materials
 - Spirals of disconnected silver NPs

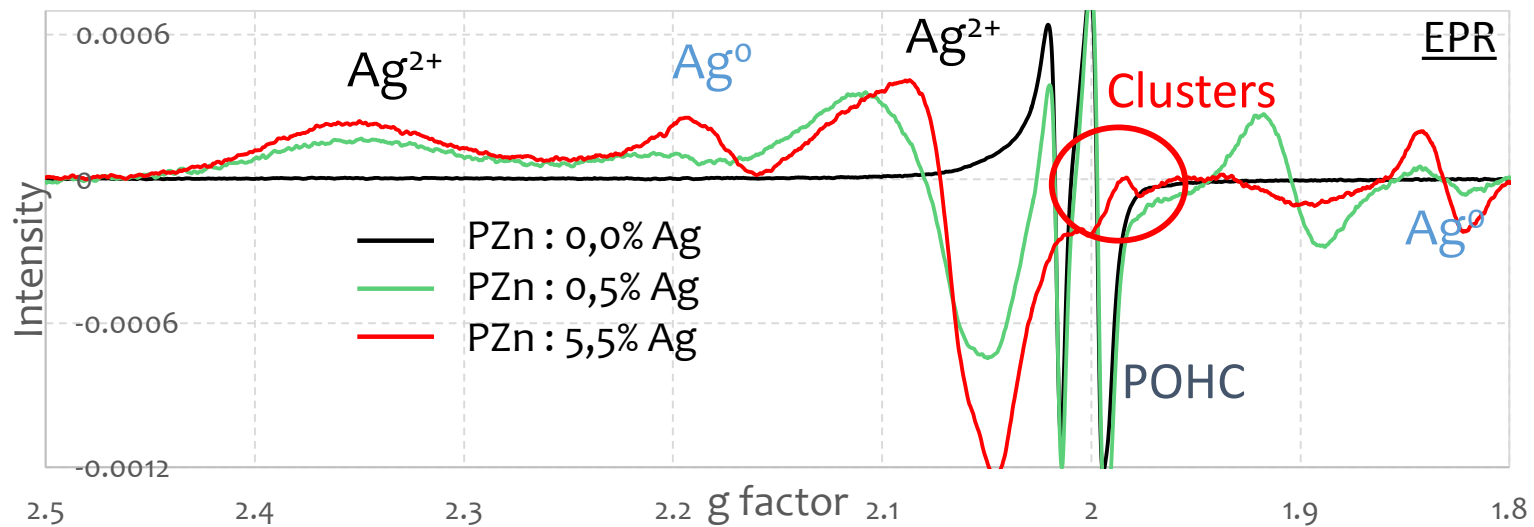
- I. Introduction Structuration Laser femtoseconde et impression 3D
- II. Verres photosensibles : le cas de l'ion argent
- III. Impression de motifs luminescents
- IV. Processus physico-chimiques : analogie avec une irradiation électronique**
- V. Effets non linéaires photo-induits
- VI. Architecture et co-illumination
- VII. Mise en forme : fibres photosensibles
- VIII. Verres à l'argent et nanoréseaux

Bourhis K., J. *Non-Cryst. Solids*
2013, vol. 377, p. 142



Meilleure sensibilité des verres contenant plus de 4 mol% de Ag_2O

Irradiation électronique (1MGy) de verres phosphate d'argent pour différentes concentrations en argent



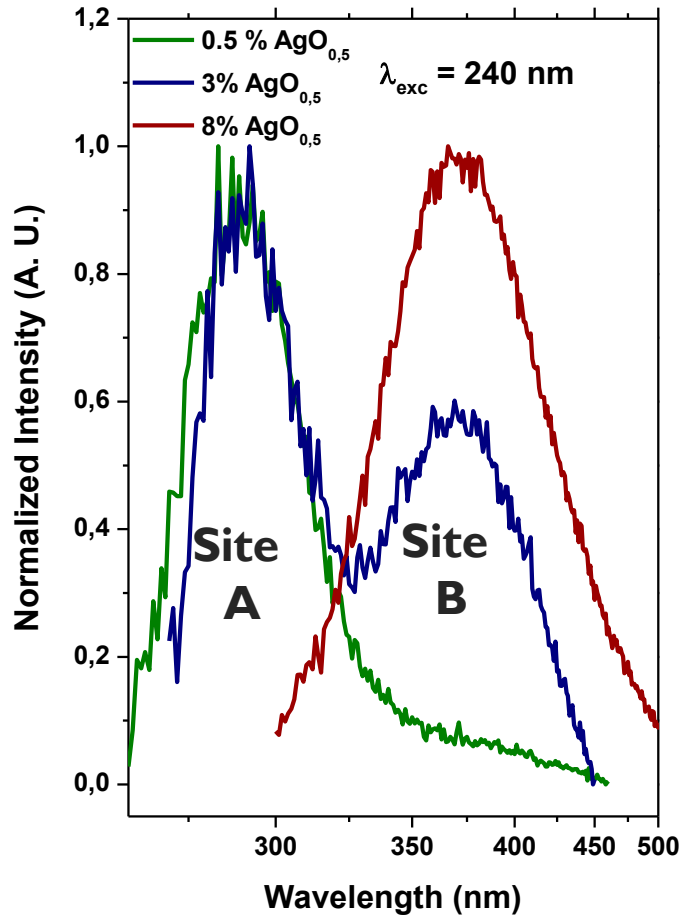
Verre sans Argent :

- Formation de POHC

Verre avec Argent :

- Disparition des POHC
- Capture des trous et des électrons par l'argent

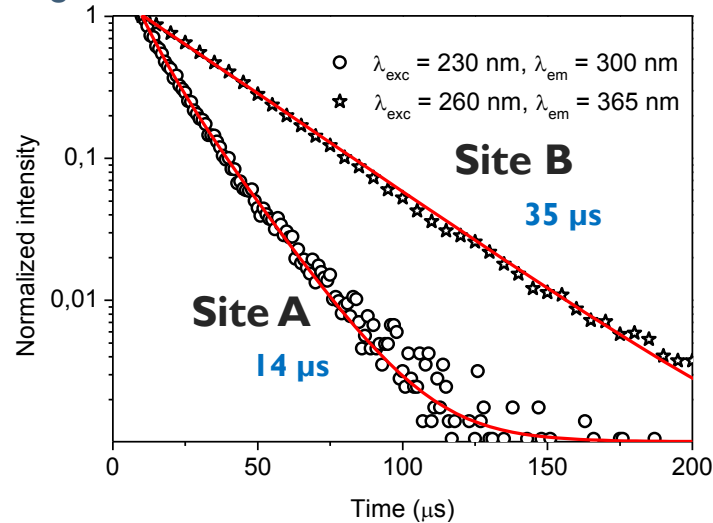
Deux sites pour l'argent



Composition

55% ZnO – 40% P_2O_5 – x% Ga_2O_3 – (5-x)% Ag_2O

$T_g = 380^\circ\text{C}$



Durée de vie

Faible concentration en argent

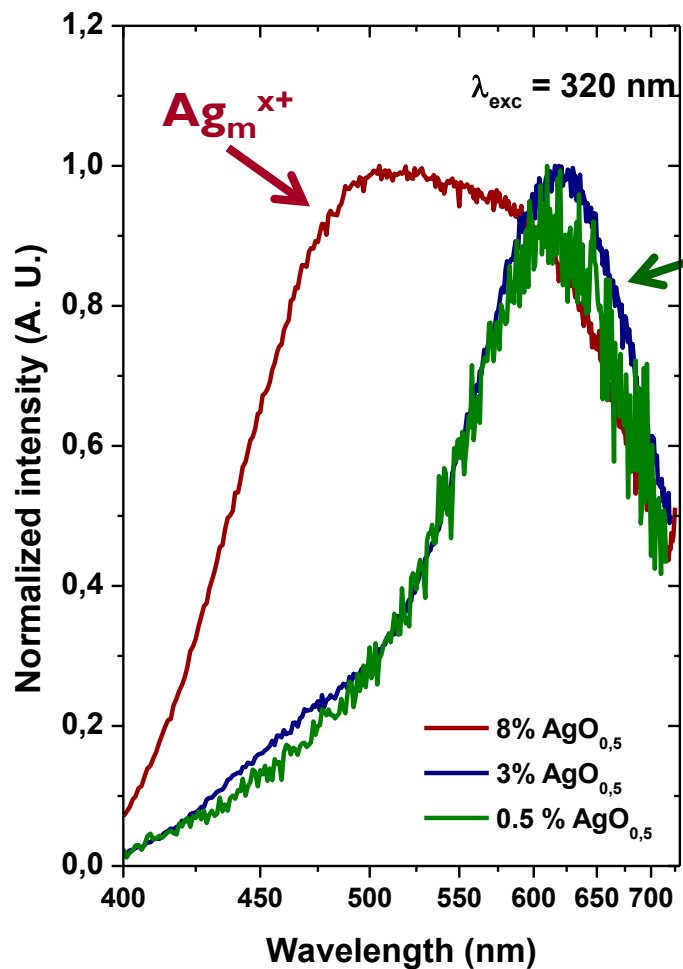
Ag^+ isolé

Forte concentration en argent

$\text{Ag}^+ \text{---} \text{Ag}^+$

Dimères ? Segregation ?

Identification des mécanismes physico-chimiques

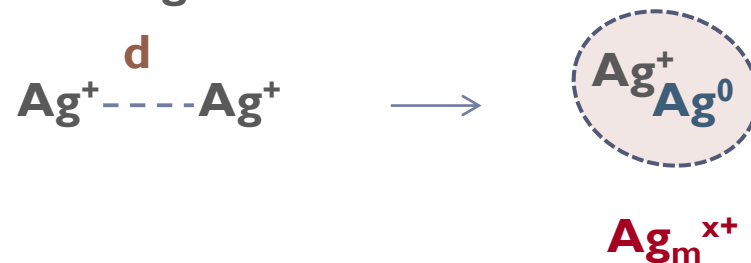


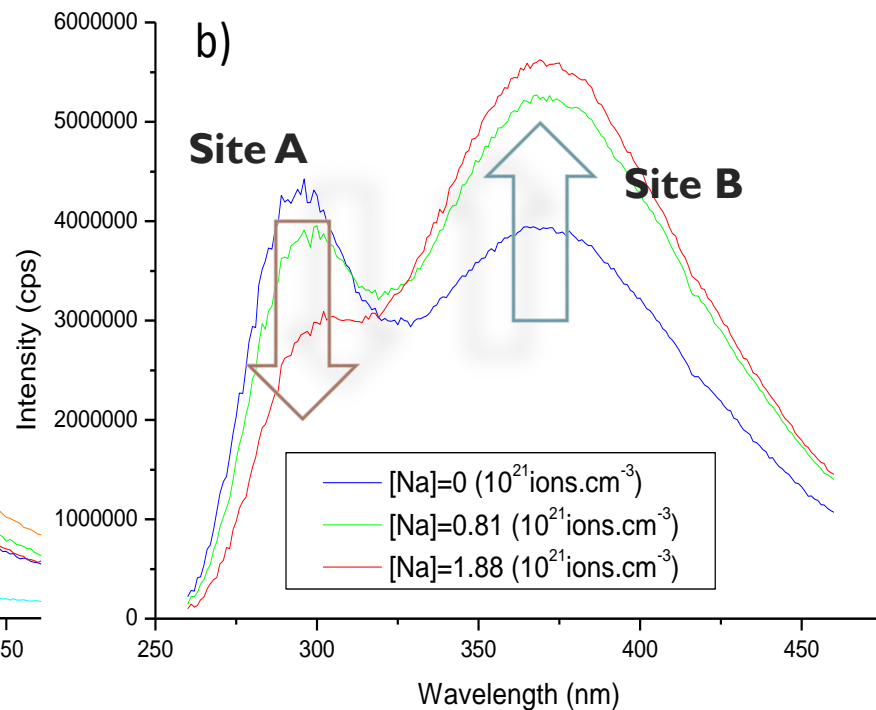
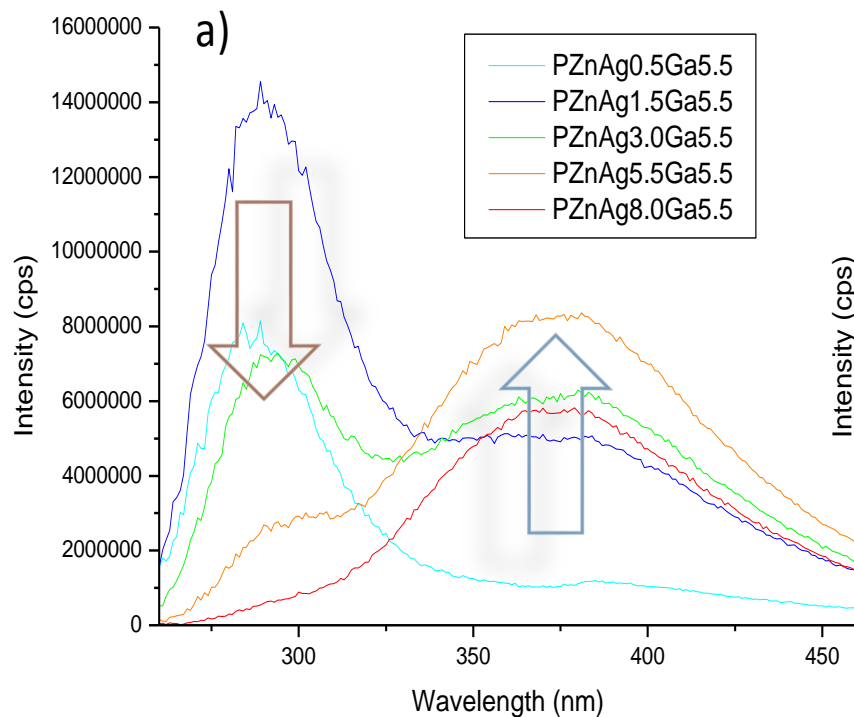
Electron beam
Irradiation
5 KGy
(10 MeV, 13.7 μ s)

For low silver concentration



For High silver concentration





Incorporation du sodium



Dimères ? Segregation des ions Ag⁺ ?

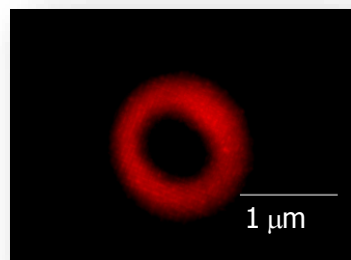
Augmentation notable de la sensibilité du verre

- I. Introduction Structuration Laser femtoseconde et impression 3D
- II. Verres photosensibles : le cas de l'ion argent
- III. Impression de motifs luminescents
- IV. Processus physico-chimiques : analogie avec une irradiation électronique
- V. Effets non linéaires photo-induits**
- VI. Architecture et co-illumination
- VII. Mise en forme : fibres photosensibles
- VIII. Verres à l'argent et nanoréseaux

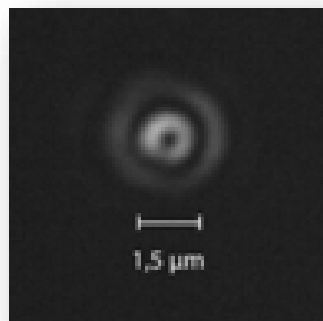
Second Harmonic Generation

Fixed position

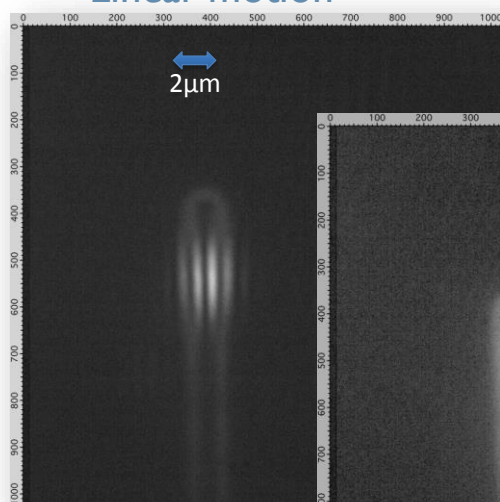
Fluorescence



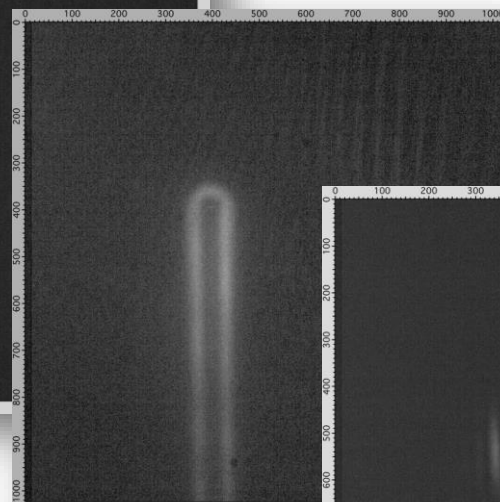
SHG



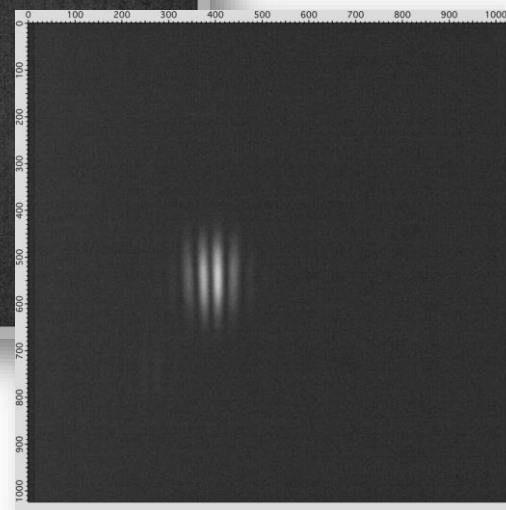
Linear motion



Fluo and SHG

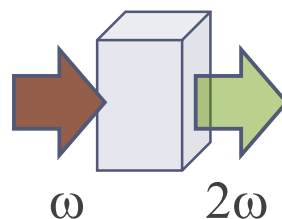


Fluorescence



SHG

Second Harmonic Generation



Laser:

Wavelength: 1.04 μm
Pulse duration: 400 fs
Repetition rate: 10 Mhz

Papon G., *Journal of Applied Physics* 115, (2014), 113103

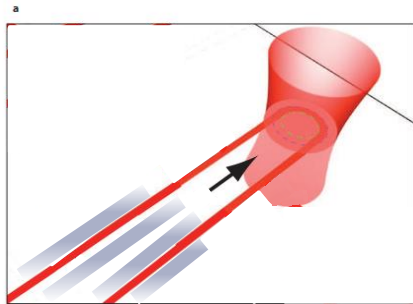
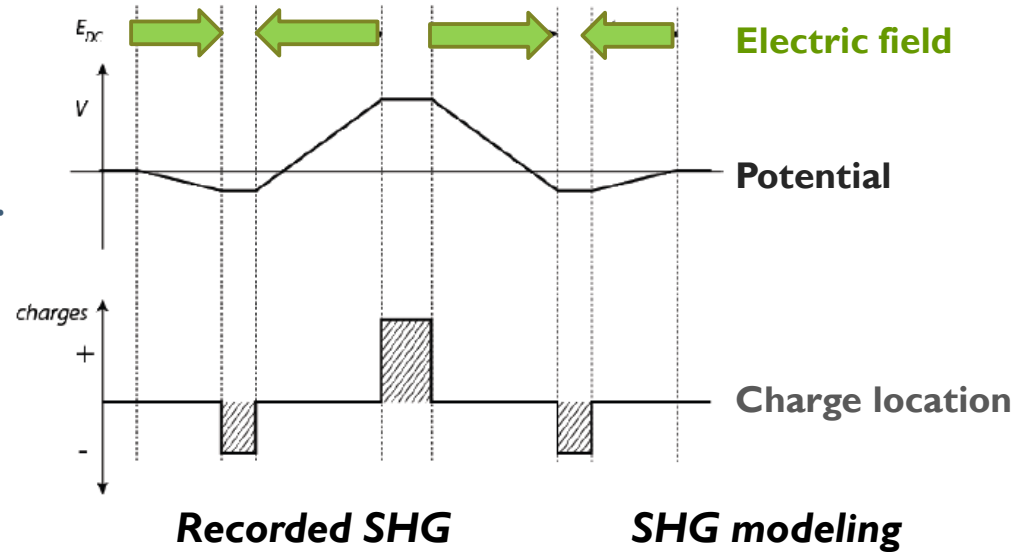
In Glass

$$\mathbf{P} = \epsilon_0 \left(\chi^{(1)} \mathbf{E}(\omega) + \chi^{(2)} \mathbf{E}(\omega) \mathbf{E}(\omega) + \chi^{(3)} \mathbf{E}(\omega) \mathbf{E}(\omega) \mathbf{E}(\omega) + \dots \right)$$

P : Polarisation

E : Electric Field

$\chi^{(n)}$: Linear and Nonlinear susceptibilities

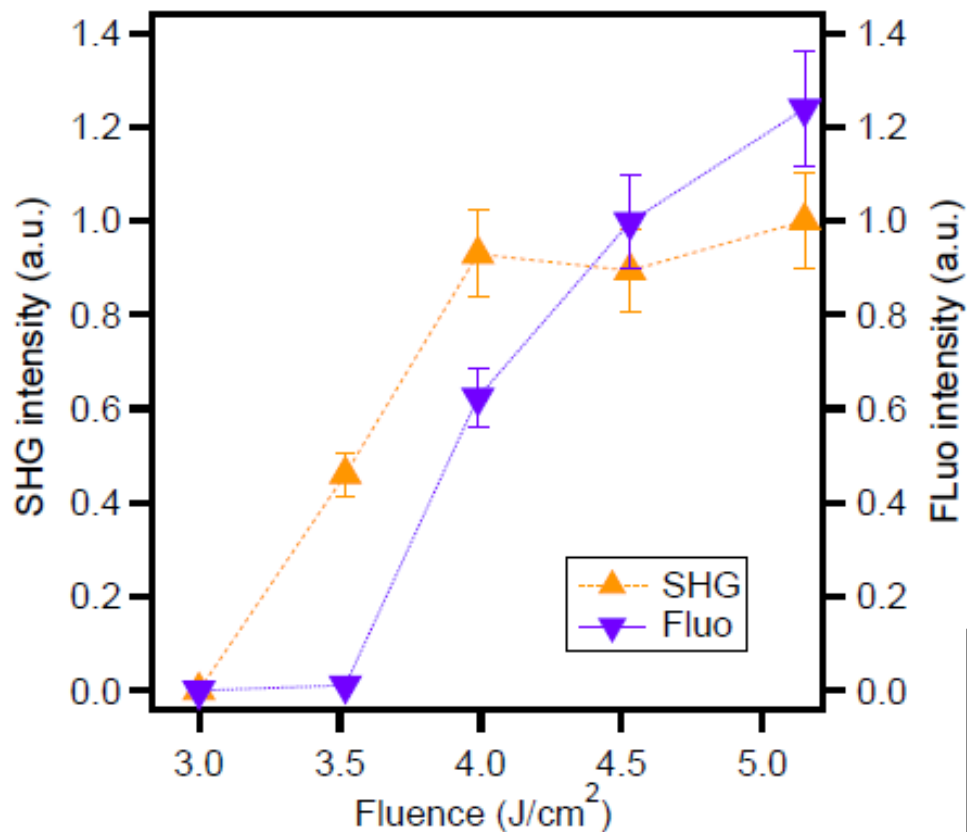


 SHG
 Fluorescence

Papon G., *Optical Materials Express*,
(2013), 855

Charge separation
and stabilization

$$P^{NL}(2\omega) = \chi^{(3)} E_{dc} E(\omega) E(\omega) \approx \chi^{(2)}$$

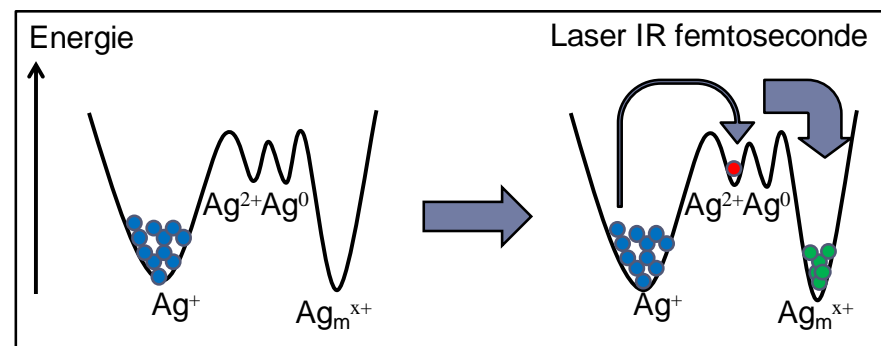


1 - charge dissociation

2 - Silver cations and atoms migration

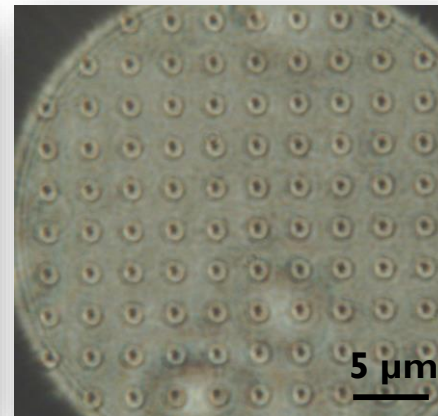
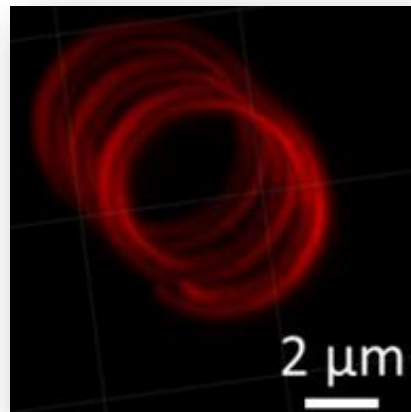
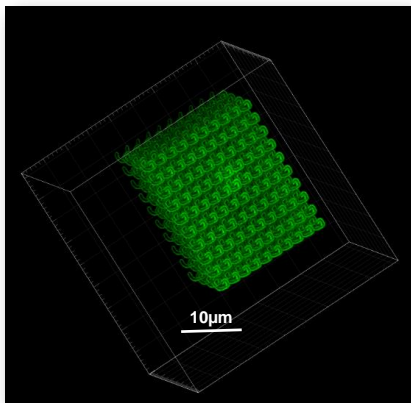
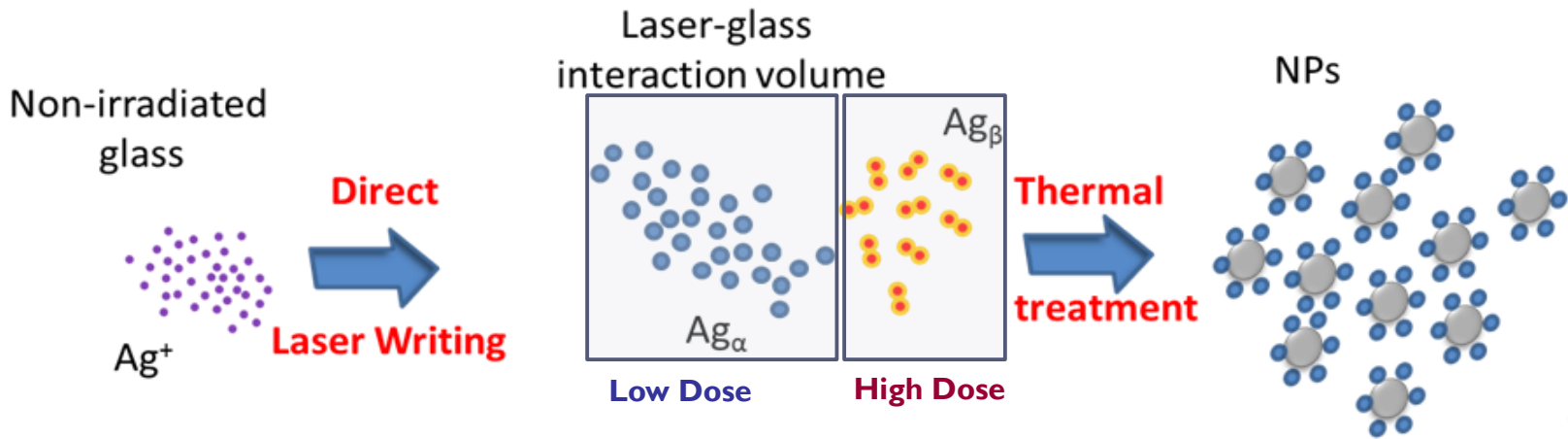
3 - Silver cluster formation

4 - Silver and oxygen mobility in the center?



- I. Introduction Structuration Laser femtoseconde et impression 3D
- II. Verres photosensibles : le cas de l'ion argent
- III. Impression de motifs luminescents
- IV. Processus physico-chimiques : analogie avec une irradiation électronique
- V. Effets non linéaires photo-induits
- VI. Architecture et co-illumination**
- VII. Mise en forme : fibres photosensibles
- VIII. Verres à l'argent et nanoréseaux

Thermal treatment above T_g after DLW in zinc phosphate matrix

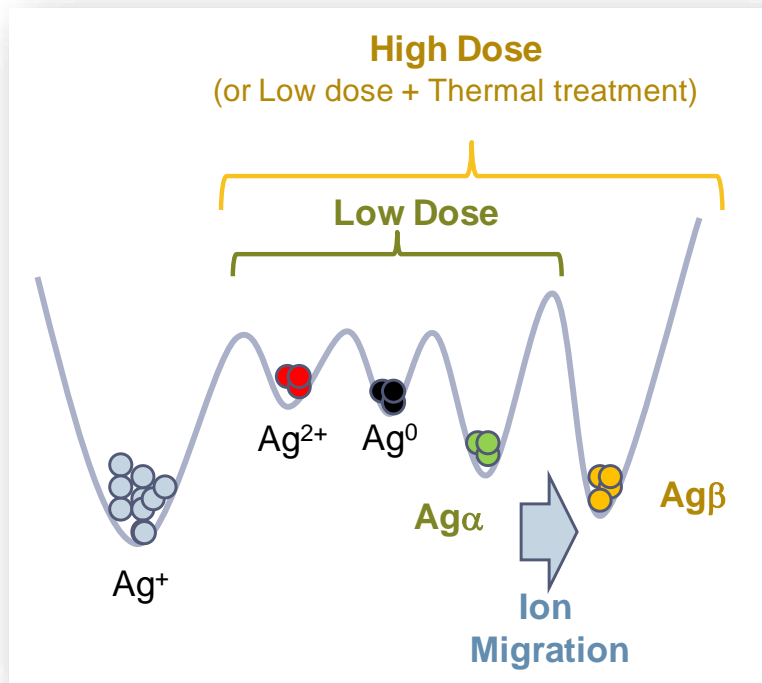
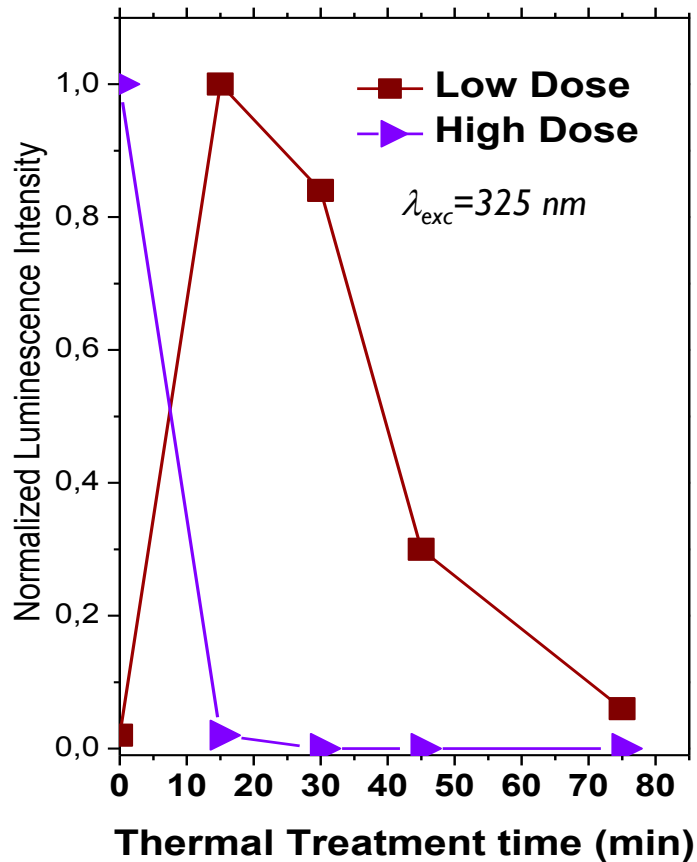


Complex plasmonic structure can be engineered in bulk glass

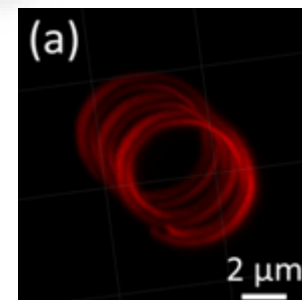
N. Marquestaut, *Adv. Funct. Mater.*, 24, 37, 2014, Pages: 5824–5832

Des clusters spécifiques pour la formation de nanoparticules métalliques

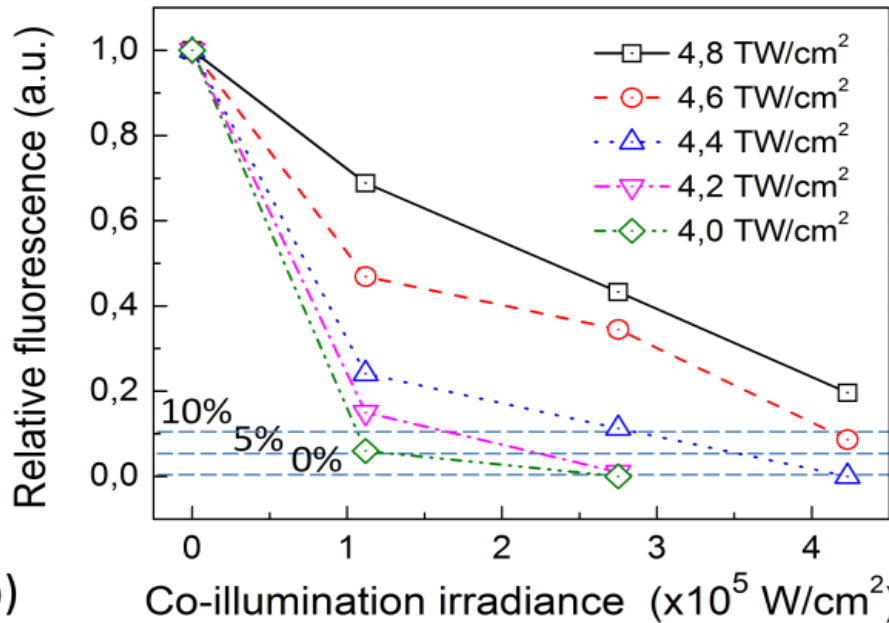
T = 425°C



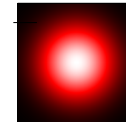
$Ag\beta$ \longrightarrow Particules métalliques



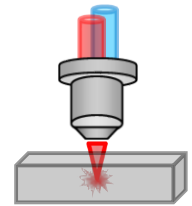
Co-illumination & inhibition



800 nm, 100 fs
250 kHz



396 nm, cw,
100 mW



b) Co-illumination irradiance ($\times 10^5 \text{ W/cm}^2$)

$N_{\text{pulses}} = 10^4$

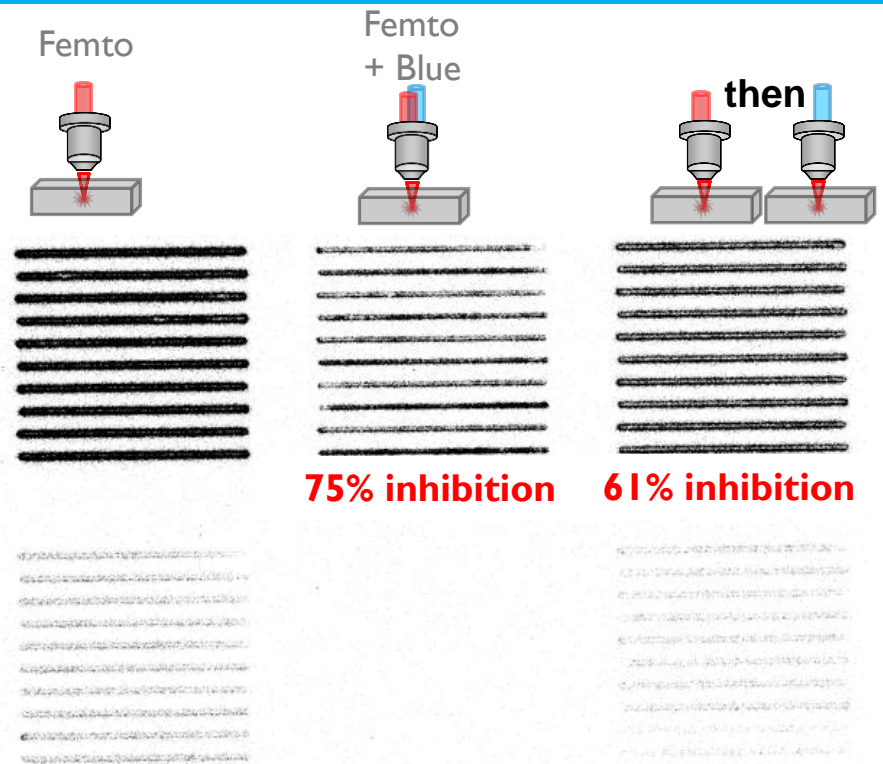
up to **100% inhibition** of the DLW fluorescence
by cw blue **co-illumination**

Active feedback **control on**
silver cluster creation efficiency

Y. Petit et al., Opt. Lett., 40, 17, p 4134, 2015.

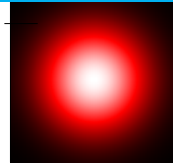
Co-illumination versus post-illumination

$E_{\text{pulse @800nm}}$
41.7 nJ



800 nm, 100 fs
250 kHz

396 nm, cw,
100 mW



$E_{\text{pulse @800nm}}$
37.8 nJ

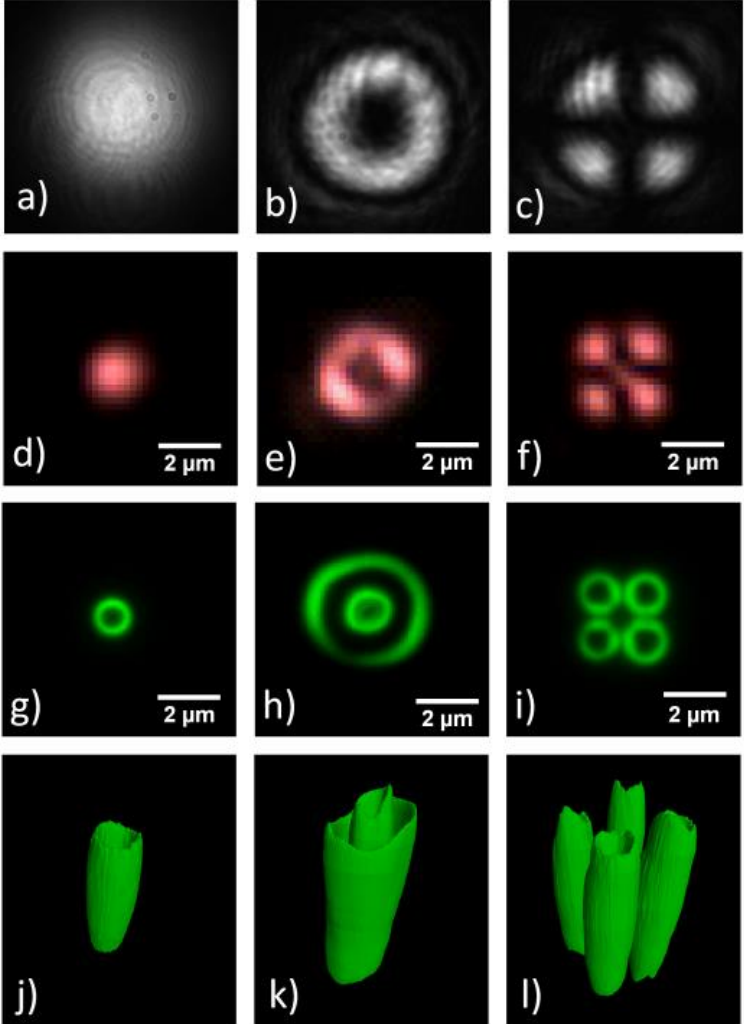
100% inhibition

57% inhibition



Vortex-induced linear patterns

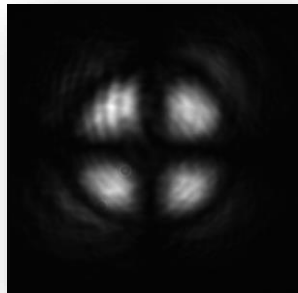
LOMA, Univ. Bordeaux



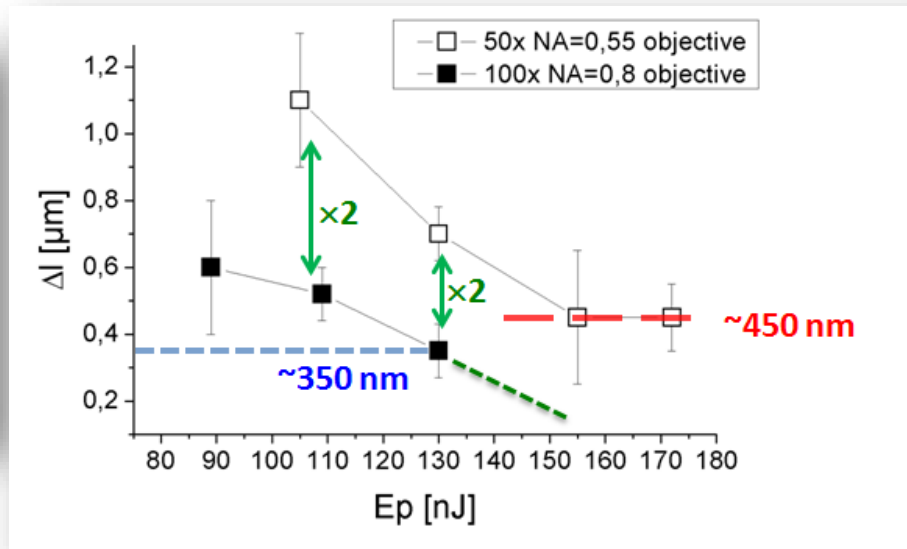
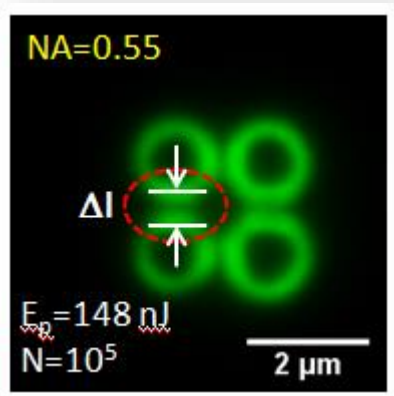
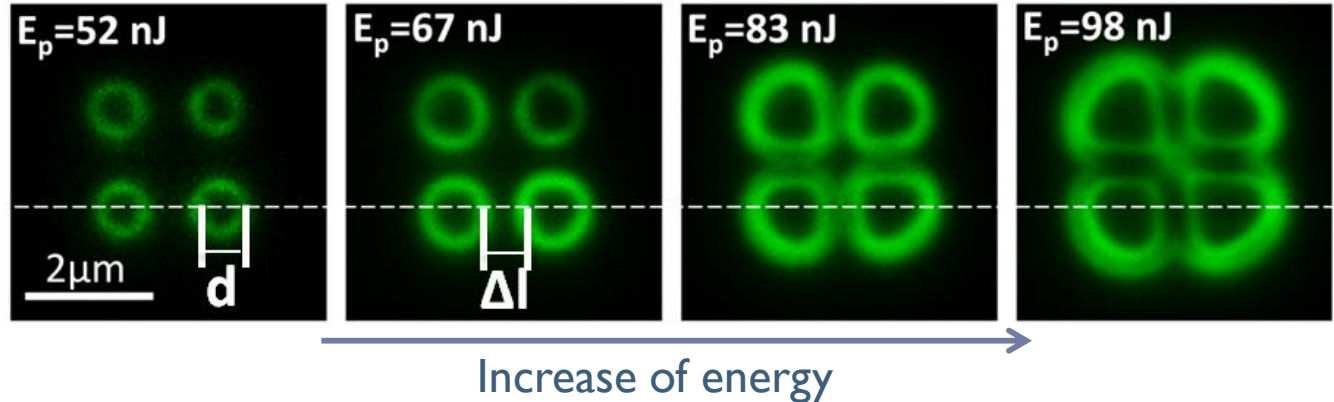
- Light structuring
- Photo-induced generation of original fluorescents patterns
- Realization of patterns *a priori* non accessible by successive irradiations with a Gaussian beam
- Conditions of laser writing with different laser parameters

K. Mishchik et al., Optics Letters, 40, 2, p201, 2015.

LOMA, Univ. Bordeaux

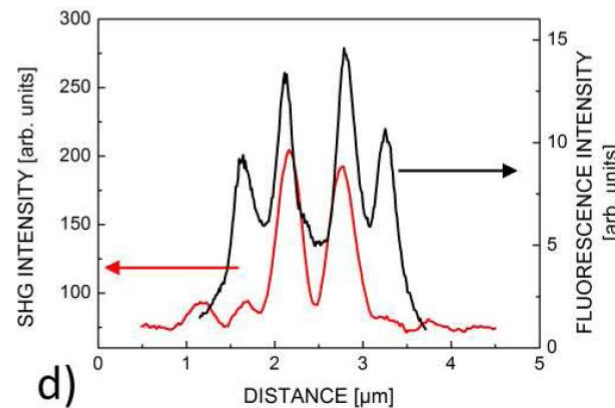
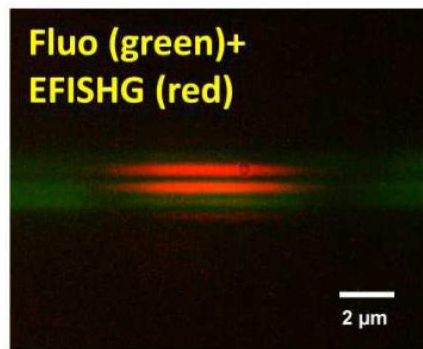
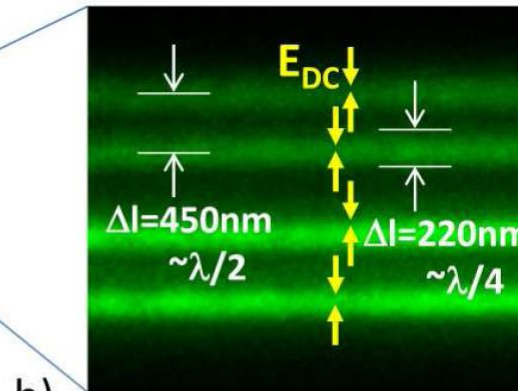
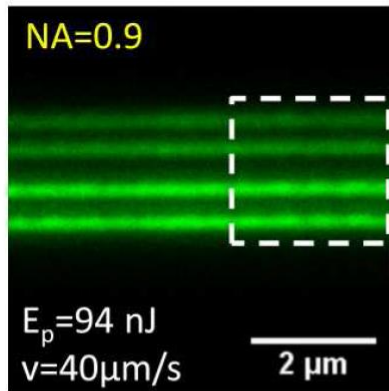
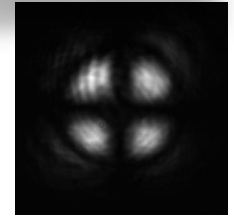


Beam intensity profile



- Non inter-penetration of the fluorescent rings
- Confirmation of the diffusion of charged species
- Mechanism/modeling: still *open question*

Nonlinear patterns under translation



- Correlative microscopy fluo/SHG
→ **multi-functionalized materials**

- Sub-wavelength micro-processing
- Buried electric field engineering

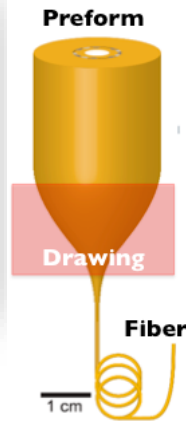
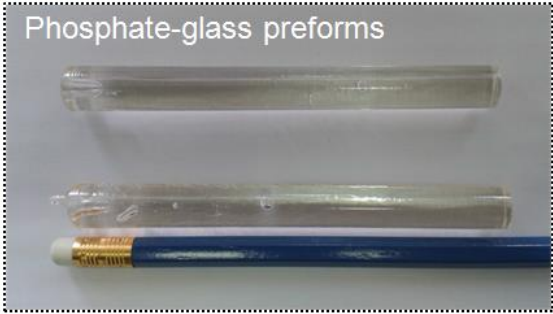
- Parallelizing of single-beam multi-line DLW

- **Towards new electro-optics photonic devices**

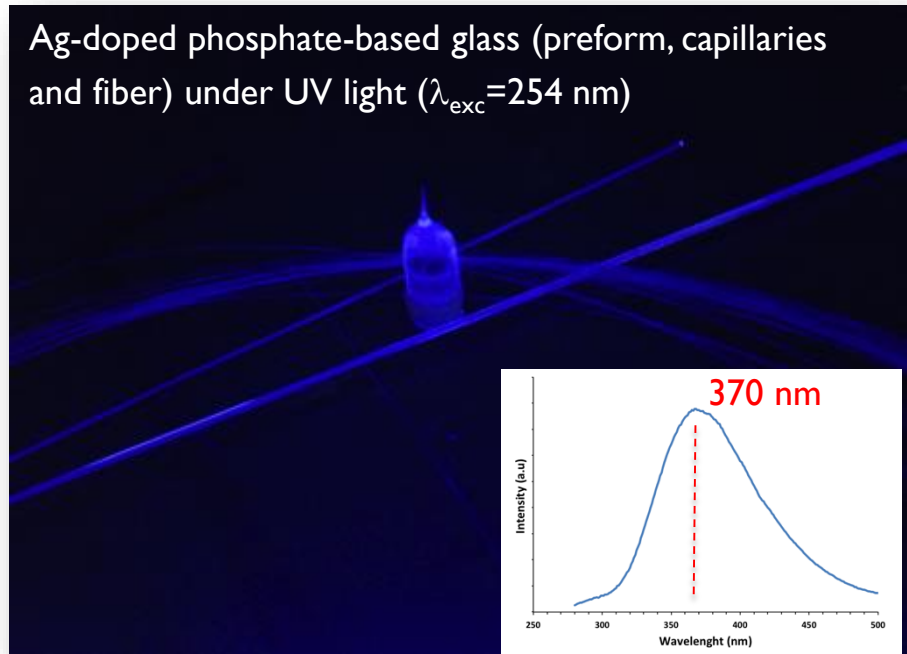
- I. Introduction Structuration Laser femtoseconde et impression 3D
- II. Verres photosensibles : le cas de l'ion argent
- III. Impression de motifs luminescents
- IV. Processus physico-chimiques : analogie avec une irradiation électronique
- V. Effets non linéaires photo-induits
- VI. Architecture et co-illumination
- VII. Mise en forme : fibres photosensibles**
- VIII. Verres à l'argent et nanoréseaux

Photosensitive glass and fiber technology

Frédéric Smektala, ICB, Dijon



- $P_2O_5-ZnO-Ga_2O_3-2\%Na_2O-2\%Ag_2O$
- Draw at $T_d \sim 700 \text{ }^\circ\text{C}$ under oxidizing condition (O_2)
- $\alpha \sim 1.60 \text{ dB}\cdot\text{m}^{-1} @ 1064 \text{ nm}$

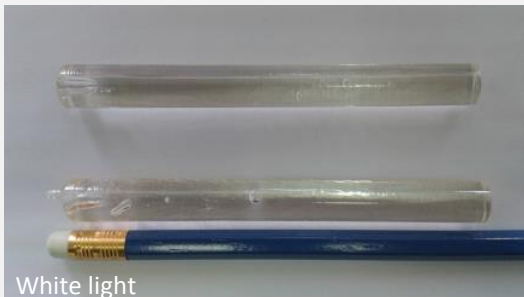


Fluorescence emission
properties of the glass bulk is
Preserved into fiber form

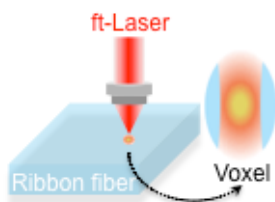
Photosensitive glass and fiber technology

Frédéric Smektala, ICB, Dijon

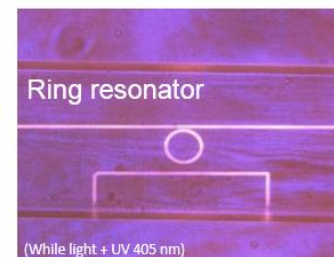
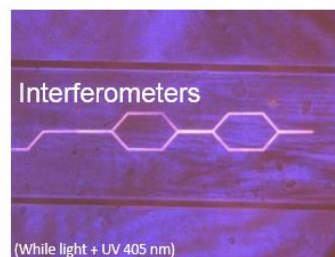
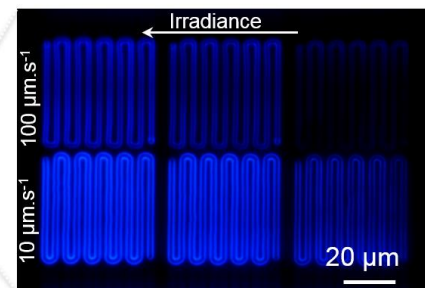
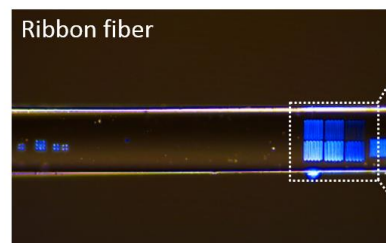
Phosphate-based glass preforms



Direct Laser Writing



Local inscription of nano-features
(Ag_m^{x+} clusters) with luminescence
and/or non-linear optical properties



- I. Introduction Structuration Laser femtoseconde et impression 3D
- II. Verres photosensibles : le cas de l'ion argent
- III. Impression de motifs luminescents
- IV. Processus physico-chimiques : analogie avec une irradiation électronique
- V. Effets non linéaires photo-induits
- VI. Architecture et co-illumination
- VII. Mise en forme : fibres photosensibles
- VIII. Verres à l'argent et nanoréseaux**

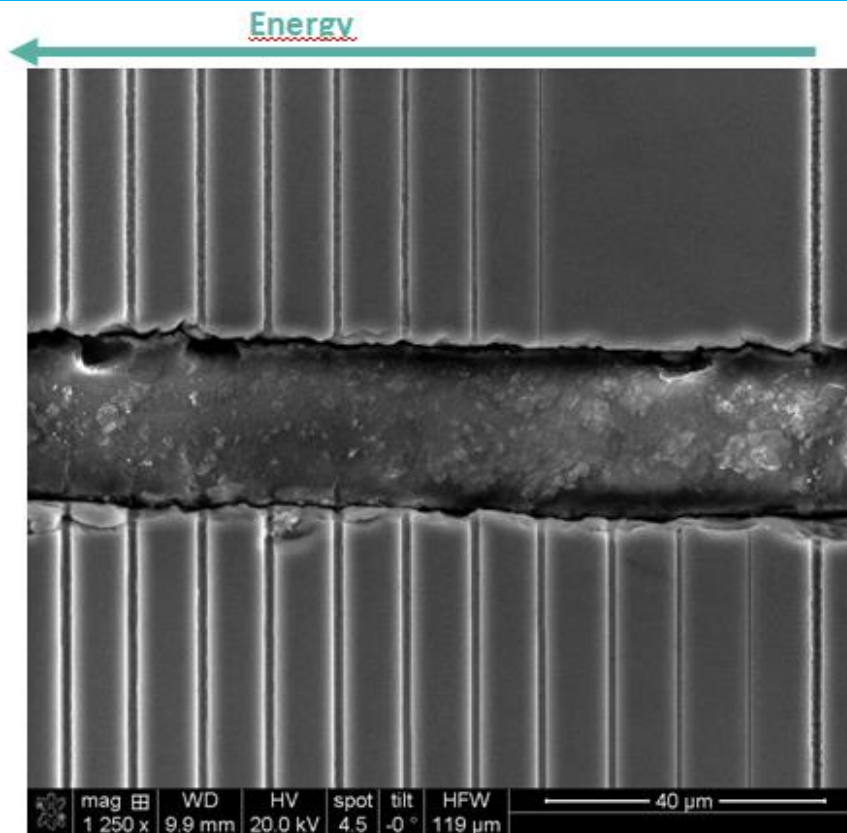
Gallium Phosphate glass 20% Ga₂O₃ – 80% NaPO₃

COPL, Univ. Laval

GPN

Laser (Spitfire)
λ=800 nm;
τ=40 fs;
f=1 kHz.

GPN
+ 3% AgO_{1/2}



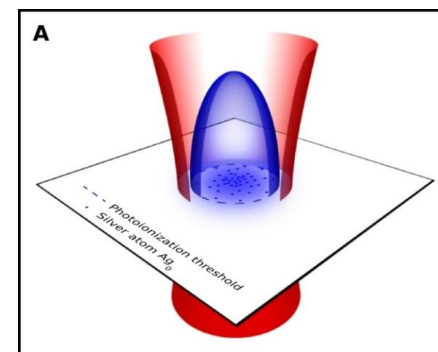
Scanning
Speed
= 10 μm/s

⊙ Laser propagation

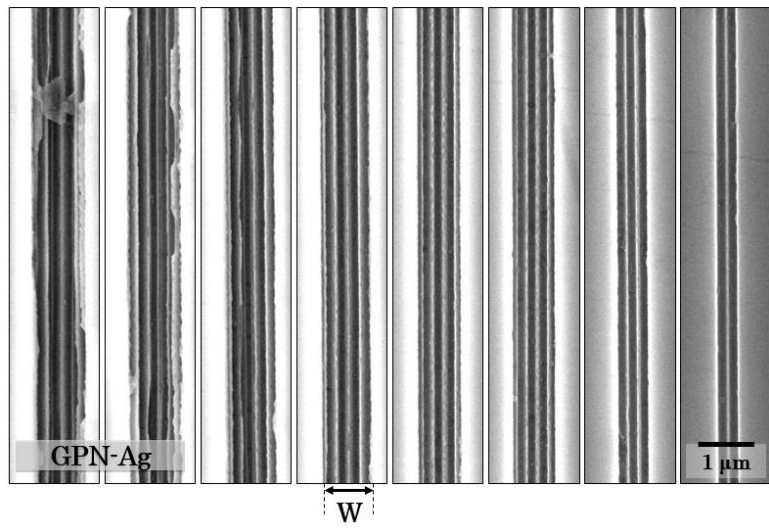
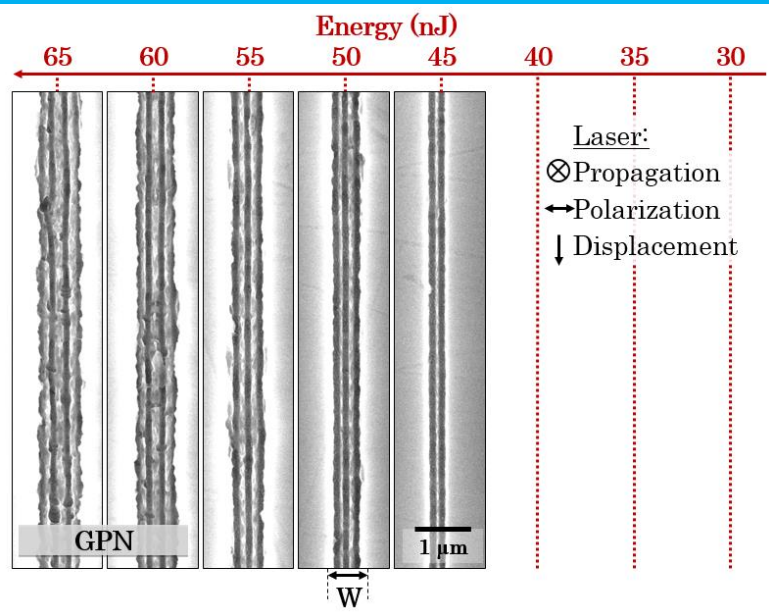
↓ Laser displacement

↕ Laser polarization

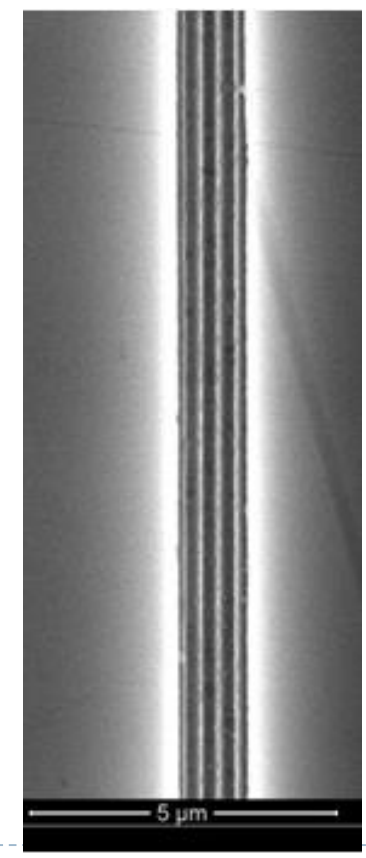
Silver lowers the threshold

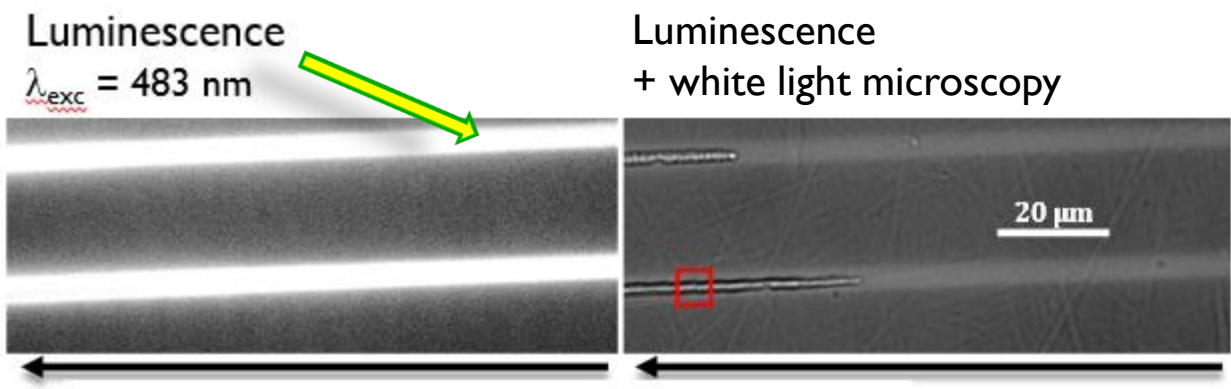


P. Hee, Journal of Materials Chemistry, 2, 37, p7906, 2014
M. Vangheluwe, Optics Letters, 19, p 5491-5494, 2014

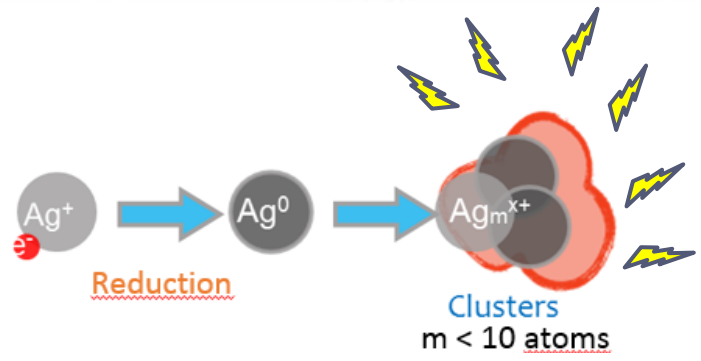


Silver





Laser:
 ⊗ Propagation
 ⇕ Polarization
 ↓ Displacement
 Sample motion speed = 10 μm/s
 Pulse energy = 113 nJ



E_{th} > Threshold energy for formation of silver cluster

The silver play a role in the electron and hole generation and trapping processes

Nano-gratings quality improvement with silver

COPL, Univ. Laval

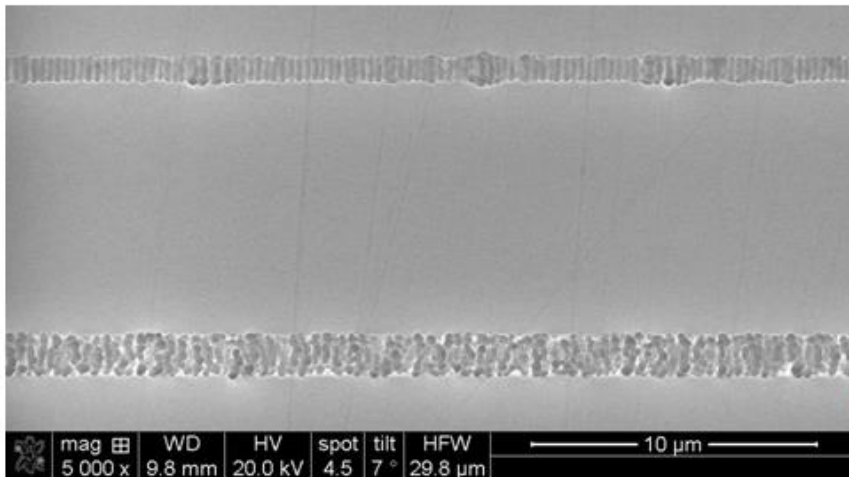
GPN

⊙
Laser propagation

→
Laser displacement

↔
Laser polarization

GPN
+ 3% AgO_{1/2}

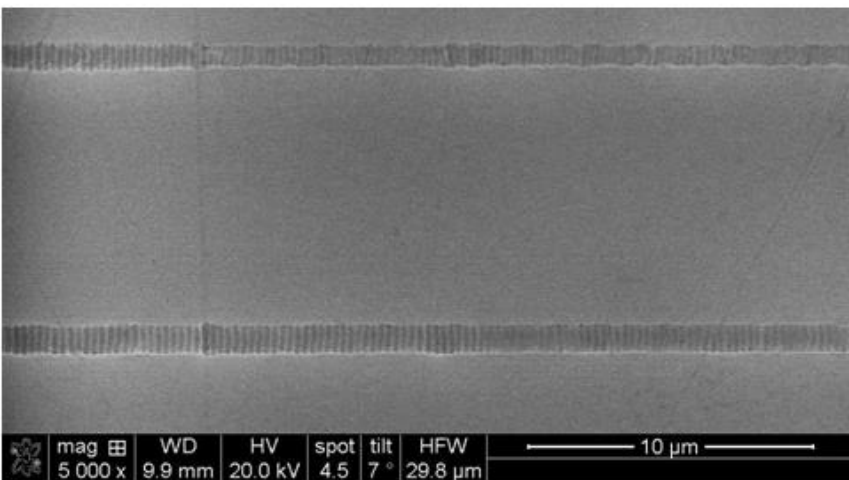


80 nJ

Scanning speed= 80 μm/s

90 nJ

Finest structure in silver containing glass



65 nJ

The presence of silver lowers the threshold for free electron generation

70 nJ

Better nano gratings quality

Verres d'oxydes lourds

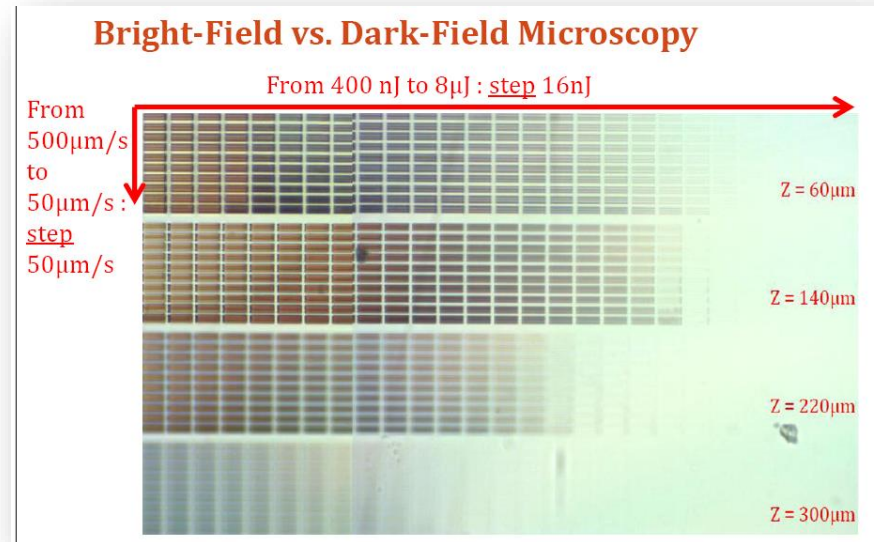
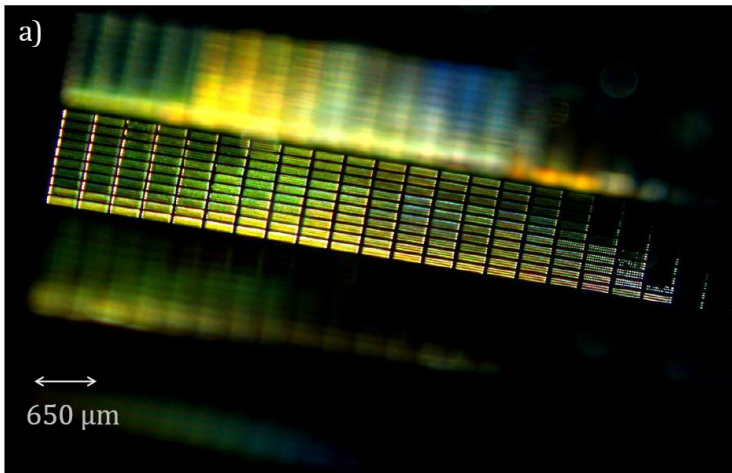
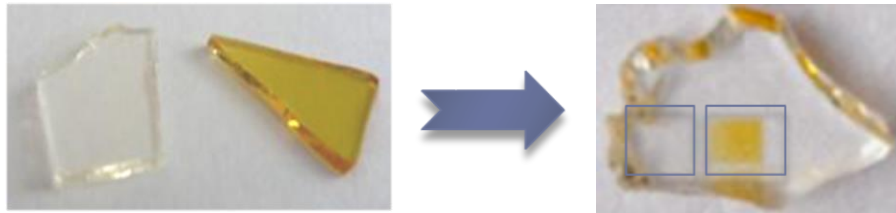
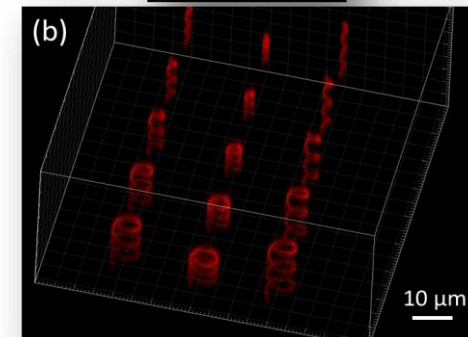
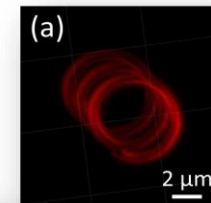
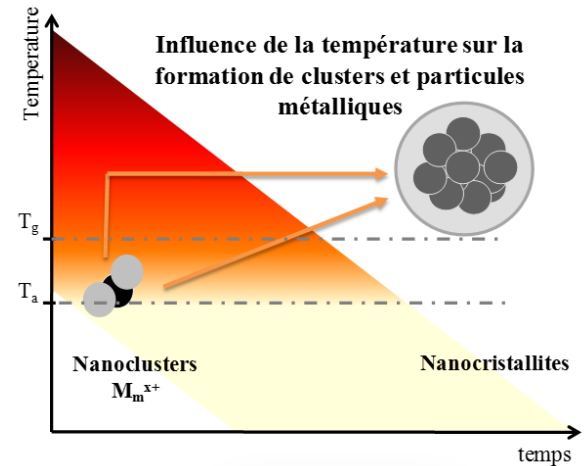


Fig 3. Darkfield images of irradiated zones
a) 10x b) 40x - imaging of lines irradiated @ z=220 μm

Verres photosensibles

- Photochimie et oxydo-réduction
- Processus de diffusion, effet des alcalins
- Structuration et impression Laser
 - ✓ Formation de clusters Ag_m^{x+}
 - ✓ Luminescence
 - ✓ Propriétés optiques Non Linéaires
 - ✓ Formation localisée de particules métalliques



F. Désévéday, F. Smektala
ICB, Université de Bourgogne, Dijon, France

E. Brasselet
LOMA, Université Bordeaux, France

K. Richardson, M. Richardson
CREOL, University of Central Florida, USA.

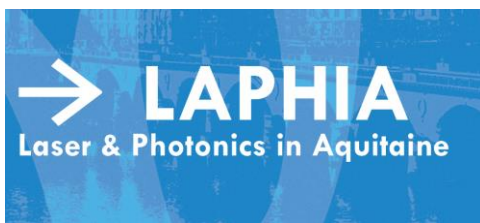
V. Rodriguez, D. Talaga
I.S.M., Université Bordeaux.

A. Piarristeguy, A. Pradel
ICGM, Université Montpellier, Montpellier, France



Merci pour votre attention

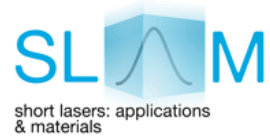




Thierry Cardinal Group;
Corcoran,

E. Fargin, J.-C. Desmoulin, P. Hée, S. Thomas, A.

A. Fargues, S. Danto, B.



Glorieux, A. Garcia, V. Jubera



Lionel Canoni group:
S. Gouin,

K. Mishchik, N. Marquestaut, M. Vangheluwe, E.-J. Lee,
LAPHIA Collaborative project
A. Abou Khalil, N. Varkentina, J. Lopez, I. Manek-Hönninger, **P. Bourhis** & P. Mounaix



Vincent Rodriguez group:

M. Dussauze, F. Adamietz,

F. Talaga & F. Bondu
LAPHIA Risky project
« MOBILE »



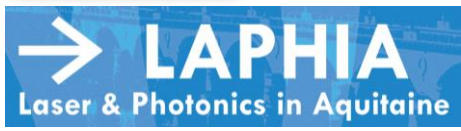
Etienne Brasselet & H. Magallanes



Guillaume Duchateau, B. Chimier & Y. Smetanina



d Royon, K. Bourhis & G. Papon



LAPHIA Risky project « STEDn'STRUCT » (2013)
Prof. Réal Vallée & L. Feng
Prof. Y. Messaddeq & Y. Ledemi

Many thanks to colleagues, agencies & for your attention

SHG and Luminescence

